

2017.

Rio de Janeiro,

O EXTRATO HIDROLÓGICO DO CARGO DE AGAI (*Euterpe Oleracea Mart.*)
PREVINE PERDA DE MEMÓRIA EM CAMUNDONGOS C57Bl6 IDOSOS

MICHELINE GOMES DA SILVA

UNIVERSIDADE FEDERAL DO ESTADO DO RIO DE JANEIRO DE (UNIRIO)
CENTRO DE CIÉNCIAS BIOLÓGICAS E DA SAÚDE (CCBS)
INSTITUTO BIOMÉDICO (IB)
CURSO DE GRADUAÇÃO EM BIOMÉDICINA

O EXTRATO HIDROALCOÓLICO DO CARGO DE AGAI (Euterpe Oleracea Mart.)
PREVINE PERDA DE MEMÓRIA EM CAMUNDONGOS C57BL6

MICHELINE GOMES DA SILVA

Trabalho de conclusão de curso apresentado como
exigência para obtenção do grau de Bacharel em
Biomedicina da Universidade Federal do Estado do Rio
de Janeiro – UNIRIO.

Orientador(a): Prof. PhD Anna Paula Machado da Rocha
Co-orientador(a): Prof. PhD Angéla de Castro Resende

2017.

Rio de Janeiro,

Universidade do Estado do Rio de Janeiro - UERJ
MSC. Ricardo de Andrade Soares

Universidade Federal do Estado do Rio de Janeiro - UNIRIO
Prof. PhD Luiz Fernando Rodrigues Júnior

Universidade Federal do Estado do Rio de Janeiro - UNIRIO
Prof. PhD Ana Paula Machado da Rocha - orientadora

BANCA EXAMINADORA

Aprovado em _____ de 2017.

Federal do Estado do Rio de Janeiro - UNIRIO.
obtendo o grau de Bacharel em Biomedicina da Universidade
Trabalho de conclusão de curso apresentado como exigência para

O EXTRATO HIDROLÓGICO DO CAROGO DE AGAI (Euterpe Oleracea Mart.)
PREVINE A PERDA DE MEMÓRIA EM CAMUNDONGOS C57Bl/6 IDOSOS

MICHELINE GOMES DA SILVA

A minha família, aos meus amigos e a
todos os animais que participaram desta
pesquisa

Aos meus amigos da turma 2013.1 Alice Dugue, Carole Massoller, Isabela Gomes, Jessica Honrado, Lucas Quintraes, Lúiza Partenosstro, Mayra Braga e Rayssa Moraes, aos nossos queridos agregados da UNIRIO e deputados facultades Bruno Duarte, Jefferson Pacheco, Lucas Chinha, Luciana Santos, Maria Guedes (que foi adotada pela UNIRIO), Natália Mylonas e Thaynan Lopes e ainda aos nossos calouras Jessilca Blancc, Julianne Barbosa e Rodrigo Pimentel. Aos meus colegas biomédicos, biólogos (Andressa Costa, Anikkk Rocha e aos companhieros de graduuação da Universidade Gamma Filho) e Clientistas

seguir.

Meus amigos merecem agradecimento especial. Elas participaram aktivamente de toda a minha formação acadêmica, seja me dando apoio emocional, como Patricia Mori, Carlos Adriano de Oliveira e Crisitiane Oliveira que sempre me lembram da minha infância e juventude para resolvê-la com criatividade. Ao Bruno capacitado de me reinventar para qualquer dificuldade com criatividade. Ao Fernando Durante e Fernanda Cardoso por oferecer ajuda e me explicar pacientemente as matérias de exatas. A Juliana Cardoso que me apresentou à UNIRIO e que grácas à ela pude escuchar a instituição para realizar a minha graduação e conhecêr pessoas maravilhosas que citarei

Graduagão oferece.

As minhas companheiras de estágio da UNIRIO, Crisitiane Santino, Jessica Blanço, Letícia Kobayashi, Maria Carolina Lima, Mayara Braga e Rayssa Moreas, que me ajudaram nesses 4 anos de estágio na UERJ e na UNIRIO. Principalmente à Jessica Blanço por nossas longas conversas e por me apresentar um mundo de possibilidades que a nossa

reproduzir neste trabalho devo a elas.

As minhas orientadoras Ana Paula Machado da Rocha e Angéla de Castro Resende pela oportunidade de realizarão da iniciativa científica. Aos meus colegas do Laboratório de Farmacologia e Psicobiologia da Faculdade de Medicina da Universidade do Estado do Rio Janeiro, com destaque para Graziele de Bem, Izabelle Barcelos, Ricardo Andrade e Anicet Okinaga por compartilhar conigo seus conhecimentos técnicos. Grande parte do que eu pude

Em segundas ligações, o Brasil é o maior produtor de café do mundo, com uma área plantada de 2,5 milhões de hectares e uma produção estimada em 45 milhões de sacas de 60 kg em 2019/2020. O café é exportado para mais de 50 países, com os Estados Unidos, Alemanha, Japão e Itália entre os principais mercados. A indústria de processamento do café é uma das mais avançadas do mundo, com tecnologia de última geração para a seletiva, torrefação e moagem. O café brasileiro é conhecido por sua qualidade, sabor e aroma únicos, que são resultado da combinação de fatores como solo fértil, clima tropical e variedades de café.

Em primeiro lugar agradeço ao Deus do Universo por ser o meu maior e melhor professor. Através dele aprendi que todos os erros e acertos fazem parte da aprendizagem, que todos os caminhos me levam a realizarão das minhas metas e independente de qual caminho eu escolher ele sempre estará comigo.

AGRADECIMENTOS

ambientes (principalmente à Daniela Serafim) que me acompanharam nestas longas jornadas acadêmicas e que toraram a experiência das duas graduações mais leve e me acomodaram da melhor forma possível e compararam comigo materiais, trabalhos em grupo, sentimentos e uma amizade que eu pretendia levar para a vida inteira. A Delson Assis e Eugênio Fabio da Silva que formam as primeiras pessoas que me recepcionaram na UNIRIO e que sempre estao sempre dispostos a ouvir e a oferecer os melhores conselhos.

Dentre as pessoas citadas no parágrafo anterior, merecem meu reconhecimento especial minhas amigas Alice Duque, Jessica Honrato que me fizera creditar novamente o valor de uma amizade verdadeira, e que ao longo desses 4 anos de universidade se tornaram as minhas irmãs mais novas. Não há palavras no mundo e em nenhum lugar que exprima o que seja suficiente para agradecer tudo o que vocês fizeram por mim, pelos conselhos, experiências de vida e todos os momentos alegres e tristes que passamos juntas. A Luciana Santos e Natália Mylons que além da nossa amizade de longos anos me ofereceram seus conhecimentos profissionais me auxiliando nos formenores técnicos da confecção desta monografia.

E por último porém não menos importante agradeço a cada vida animal que foi disponibilizada para a realização deste projeto, uma vez que sem a presença delas a nossa capacidade de entenderimento da etiologia das doenças seria limitado. Visa o entendimento da etiologia das doenças seria limitado.

Lispector

Texto extraído do livro A hora da Estrela de Clarice

fatos antecedentes".

parece dizer sobre a vida – porque preciso registrar os
início pelo fim que justificaria o começo – como a morte
escrevendo na hora mesma em que sou lido. Se não
sabe se mais tarde saberá. Como que estou
porque. É a visão da iminência de. De quê? Quem
há dois anos e meio venho aos poucos descobrindo os
“Esta história será o resultado de uma visão gradual –

RESUMO

Agai is a fruit endemic to the Amazon region, known for its high content of polyphenols in which most are present in the seed. In previous studies, several therapeutic effects of the hydroalcoholic extract of the agai stone (ASE) have been demonstrated, which has a potent antiinflammatory, antihypertensive, hypoglycemic and nociceptive effect and also reduces oxidative stress. All these factors induce action in the central nervous system (CNS) and possibly mediated via the hypothalamus that modulates various physiological functions and promotes biochemical processes. Recent research suggests that insulin resistance and partcipates in mnemonic processes. It is known that ASE presents a significant reduction in glycemia and insulin resistance in elderly C57Bl/6 mice submitted to a hypercaloric diet, in one being Alzheimer's disease. It is also believed that triggers dementia processes, the main promotes biological changes that trigger dementia processes, the main addition to CNS action. The objective of this work was to understand the effect of ASE on the memory of elderly C57Bl/6 mice submitted to the hypercaloric diet. The C57Bl/6 mice were divided into 6 control groups (who received commercial raton and water ad libitum); ASEp (300mg / kg / day of ASE in drinking water after 6 months of experiment); ASEt (300mg / kg / day of ASE in drinking water after 11 months of experiment); HC (animals that were treated with a hypercaloric diet between 6-9 months of age until the development of IR); HC + ASEp (mice treated with hypercaloric diet and 300mg / kg / day of ASE in drinking water, 6-9 months of age until the development of IR); HC + ASEt (animals treated with hypercaloric diet 6-9 months of age until the development of IR) and at 11 months started treatment with 300mg / kg / day of ASE in drinking water for 4 weeks). From 6 to 12 months of age, the animals were kept in drinking water for 4 weeks). From 6 to 12 months of age, the animals were then the unpaired Student t-test was performed to evaluate the differences between the groups. Values of $p < 0.05$ will be considered statistically significant. Chronic and preexisting treatments reduced glycemia in elderly glucose tolerant mice. Animals that received only the hypercaloric diet had a significant increase in blood glucose. In the LAM, all the groups presented a significant reduction in the latency time from the second day of the test, however, the animals ASEp and HC + ASEp at 12 months continued with the progressive reduction of the latency time. Regarding the performance of the animals in the LAM test, it was noticed that after the therapy with hypercaloric diet, the rodents remained longer in the quadrant 1 (Q1) in the training and mnemonic phases of the LAM, however at 12 months this difference decreases, indicating cognitive loss. Advanced age promoted cognitive impairment in the control and ASE groups, but in the HC group this characteristic was not intensified. The ASE did not promote the reduction of the glycemia levels of mice submitted to the hypercaloric diet, nor did it reverse the cognitive damage in animals with memory deficit, however the preventive therapy with ASE promoted the maintenance of the cognitive capacity.

ABSTRACT

Mots-clés: C57Bl/6; *Eutrepe oleaceae* Mart.; Mémoire; Résistance à l'insuline; Souris agées;

Tolérance au glucose

RESUME

OMS - Organizaçäo Mundial da Saúde	
NMDA - N-metil-D-aspartato	
MDA - Malondialdeído	
LAM - Labirinto Aquático de Morris	
IRS-3 - Substrato do receptor de insulina 3	
IRS-2 - Substrato do receptor de insulina 2	
IRS-1 - Substrato do receptor de insulina 1	
EROs - Espécies reativas de oxigênia	
ERK - do inglês "extracellular signal-regulated kinases", quinases reguladas por sinal extracelular	
HC + ASEt - animais que receberam dieta hiperclorica e o tratamento com o extrato hidroalcoólico de agai	
HC + ASEp - animais que receberam dieta hiperclorica e a dieta preventiva	
HC - animais que receberam dieta hiperclorica	
DA - Doença de Alzheimer	
C57Bl/6 - do inglês "C57"black 6" são camundongos black derivados da linhagem C57	
CTE - Cadeia de transporte de elétrons	
CREB - do inglês "cAMP response element binding protein", proteína de ligação a elemento de resposta de cAMP	
BDNF - Fator neurotrófico derivado do cérebro	
ASEt - Animais que receberam o tratamento com o extrato hidroalcoólico de agai	
ASEp - Animais que receberam a terapia preventiva com o extrato hidroalcoólico de agai	
AMPG - Monofosfato cíclico de adenosina	
ACH - Acetilcolina	

LISTA DE SIGLAS E SÍMBOLOS

RI - Resistência insulínica

PAI-1 - Inibidor-1 do ativador de plasminogênio

SHR - do inglês "Spontaneously hypertensive rats", ratos espontaneamente hipertensos

SNC - Sistema nervoso central

UE RJ - Universidade do Estado do Rio de Janeiro

UNIRIO - Universidade Federal do Estado do Rio de Janeiro

- Figura 1** – Diferença entre as palmeiras de *E. precatoria* e *E. oleracea* (página 19).
- Figura 2** – Comparação entre o cérebro saudável e os danos causados pela DA leve e a DA severa (página 27).
- Figura 3** – Diferenças entre o neurônio saudável e um neurônio com DA (página 27).
- Figura 4** – Representação do efeito neuroprotetor da insulina através da fotografia de neurônios (página 32).
- Figura 5** – Representação gráfica do índice e do objetivo do teste de Labyrintho Aquático de Morris (LAM) e a discriminação de seus quadrantes (página 42).
- Figura 6** – Gráfico representativo do peso dos animais por tempo de tratamento (página 45).
- Figura 7** – Teste de tolerância à glicose dos diferentes grupos experimentais aos 11 meses de idade (página 47).
- Figura 8** – Efeito do ASE sobre a glicemia dos camundongos C57Bl/6 (página 48).
- Figura 9** – Efeito do ASE sobre a glicemia dos camundongos C57Bl/6 (página 49).
- Figura 10** – Avaliação do tempo de latência dos animais no Labyrintho Aquático de Morris e de acordo com a idade (página 50).
- Figura 11** – Avaliação do tempo de latência dos animais em Labyrintho Aquático de Morris dos 12 meses de idade (página 51).

LISTA DE FIGURAS

Quadro 1 – Estimativa do número total dos casos de demência por faixa etária e região do mundo (página 23)

Quadro 2 – Peso (g) dos camundongos C57Bl/6 e o consumo de ração (g/dia) available em diferentes idades (página 46).

Quadro 1 – Tipo de doenças neurodegenerativas e suas origens (página 24)

Quadro 2 – Exemplos de alimentos com alto neuroprotetora que combatem o estresse oxidativo e a RI (página 33).

Quadra 3 – Tabela nutricional da composição química da ração comercial para animais de laboratório Nuvlab CR1® da empresa Quimilia (página 40).

Quadra 4 – Tabela nutricional da ração hipercloríca (HC) utilizada que deve ser baseada na ração comercial Nuvlab CR1® da empresa Quimilia (página 41).

LISTA DE QUADRROS E TABELEAS

I. INTRODUCÃO	18
I.1. Agel	18
I.1.1. Potenciaisidades terapêuticas do Agel	20
I.2. Demência	22
I.2.1. Doença de Alzheimer (DA)	25
I.3. Diabetes e a resistência insulínica	29
I.3.1. Os efeitos da RI no sistema nervoso central (SNC)	31
II. OBJETIVO GERAL	37
II.1. Objetivos específicos	37
III. METODOLOGIA	38
III.1. Obtenção do extrato hidroalcoólico de semente de agel.	38
III.2. Animais	39
III.3. Dieta	40
III.4. Labirinto Aquático de Morris (LAM)	41
III.5. Análises bioquímicas	43
III.5.1. Determinação da glicemia em jejum	43
III.5.2. Análise da glicose plasmática e da tolerância à glicose	43
III.6. Análise estatística	44
IV. RESULTADOS	45
IV.1. Acompanhamento do peso dos animais	45
IV.2. Análise da Tolerância à glicose	46
IV.3. Efeito do ASE sobre a glicemia	47
IV.4. Desempenho dos camundongos C57Bl/6 nos quadrantes do teste de Labirinto Aquático de Morris (LAM)	48
V. DISCUSSÃO	52
VI. CONCLUSÃO	58
VII. BIBLIOGRAFIA	59

As espécies do gênero que são mais frequentes no Brasil são: *Euterpe edulis*, *Euterpe oleracea* (a primeira a ser descrita do gênero) e *Euterpe precatoria*, porém somente as duas últimas apresentam algumas semelhanças, tais como os seus frutos são utilizados para consumo e fins comerciais (*FELSSNER*, 2016). A *E. precatoria*, popularmente conhecida por agaí-do-Amazonas, é uma palmeira monocaule (*TOWNSEND et al.*, 2001), de altura de 15 a 35 m e 12 a 20 cm de diâmetro, distribuída entre os planaltos e planícies da bacia amazônica, sendo usualmente encontrada, principalmente na Amazônia Ocidental e no sul do Equador (*YAMAGUCHI et al.*, 2015).

A distribuição das plantas da Família Arecaceae (análoga Palmaceae) ocorre por todo o planeta (exceto na Antártida), porém sua maior prevalência é nas regiões tropicais e subtropicais. A família engloba cerca de 200 gêneros e 2600 espécies (CALZAVARA, 1972). O gênero *Euterpe* contém 28 espécies localizadas na região Centro-Sul das Américas e com distribuição por toda a Bacia Amazônica. O nome do gênero é em homenagem a uma deusa grega, que significa "elegância da floresta", que menciona a beleza da palmeira.

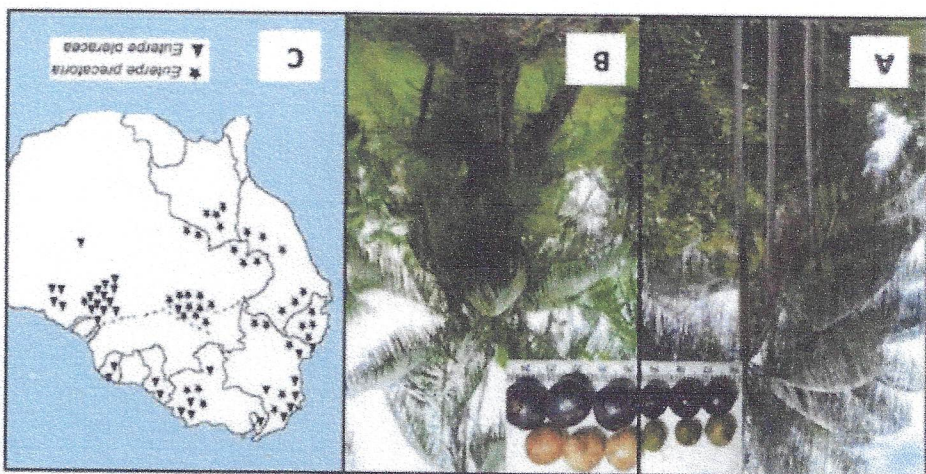
O agai-dô-Pará, ou simplesmente agai (*Euterpe oleracea* Mart.), é um fruto endêmico da Bacia Amazônica proveniente da região do Amapá, Maranhão, Pará e Tocantins (CALZAVARA, 1972; BALICK, 1986; CAVALCANTE, 1991) e também de países que fazem fronteira com o Brasil, como Colômbia, Guiana, Guiné Francesa, Suriname e Venezuela (CALZAVARA, 1972; CAVALCANTE, 1991). De forte apelo popular no Brasil - destaque para a região Note - o agai é comercializado e pode ser encontrado de diversas formas: sucos, polpas congeladas, sorvetes, cremes e mingau. Entretanto, de acordo com Townsend et al., 2001, seu consumo mais conhecido é o do vinho do agai. Outro fato que podemos destacar é o uso da palmeira como ornamento.

Agai 1.1

I. INTRODUCTION

da casca e ao agal-do-Pará. Em relação aos metabólitos encontrados no fruto, mesmas, e, quando a fazem, se limitam apenas à propriedades da polpa e/ou Euterpe, embora na maioria dos trabalhos não seja feita distinção entre as relatas a atividade biológica e farmacológica entre as duas espécies de Euterpe Yamaguchi (2015) existe uma diversidade de estudos que

Figura 1. As diferenças entre as palmeiras de (a) *E. precatoria* e (b) *E. oleacea* e (c) disposta ao botânica das duas espécies no continente Sul-Americano. (YAMAGUCHI et al., 2015).



Diferente da maioria das frutas tropicais, que contêm mesocarpo camoso e sabor marcante, o agal possui um fruto com pouca polpa e gosto insípido, sendo consumido apenas após seu processamento. A presença de antociânicas nela deixa a boca, gengivas e dentes com um aspecto plurípido, sendo normal ou por intermédios de equipamentos despolpadores, com mecanica manual ou extragado (OLIVEIRA et al., 2000), a extragado é geralmente realizado de forma antociânicas nela deixa a boca, gengivas e dentes com um aspecto plurípido, sendo normal ou por intermédios de equipamentos despolpadores, com mecanica manual ou por intermédios de equipamentos despolpadores, com Segundo Oliveira et al. (2000), a extragado é geralmente realizado de forma antociânicas nela deixa a boca, gengivas e dentes com um aspecto plurípido, sendo normal ou por intermédios de equipamentos despolpadores, com adição de água.

ja as do gênero *E. oleacea* Mart. são palmeiras multicaules, nas quais os troncos adultos podem medir de 3 a 20m de altura e 12 a 18 cm de diâmetro (TOWNSEND et al., 2001) com até 25 colmos por toucira (HENDESON, 1995). Normalmente são encontradas em densas concentrações, geralmente em áreas de várzea e em solos de floresta alagada, incluindo rios e montanhas do estuário do Rio Amazonas (ODENDAAL & SCHAUSS, 2014) nos estados do estuário do Rio Amazonas (ODENDAAL & SCHAUSS, 2014) nos estados

A maioria dos estudos sobre a *Euterpe oleifera* Mart., são realizados através do extrato hidroalcoólico da polpa e da casca do agai, já sendo comprovado a atividade anti proliferativa de células tumorais C6 do cérebro através do extrato hidroalcoólico da polpa e da casca do agai, já sendo comprovada a atividade anti proliferativa de células tumorais C6 do cérebro (HOGAN et al., 2010), atenua a carcinogênese de colón induzida por dimetilhidrazina (FRAGOSO et al., 2013), possui atividade antioxidante no cerebelo e hipocampo (MACHADO, 2014). Foi constatado também que o extrato da polpa possui efeito neuroprotector contra a exposição a β-amiloido em ensaios *in vitro* (WONG et al., 2013) e que a suplementação a β-amiloido em ratos Wistar (BRASIL et al., 2016).

O agai é um dos alimentos funcionais mais populares no mundo inteiro devido a quantidade de substâncias bioativas presentes em seu fruto (FELSNER, 2016). De acordo com Yamaguchi (2015), cerca de 90 substâncias antocianinas (9%), outros compostos fenólicos (23%) e ainda quinonas, ácidos flavonóides (31%), lignóides (11%), que formam descritas na planta, incluindo flavonóides (31%), lignóides (11%), predomínancia são os derivados de antocianinas e protocianinas (ODENDAAL & SCHAUSS, 2014).

1.1.1 Potencialidades terapêuticas do Agai

E. oleacea é conhecida por sua grande quantidade de compostos fenólicos, antocianinas e flavonóides (HEINRICH et al., 2011). Essas substâncias possuem uma alta capacidade antioxidante em ensaios *in vitro*, sobretudo contra as espécies reativas de oxigênio (superóxido, peróxido e hidroxído) podendo prevenir uma série de doenças (SCHAUSS; JENSEN; WU, 2010). Tais propriedades fazem com que exista diferentes estudos na indústria alimentar, cosmética e farmacêutica sobre o fruto (YAMAGUCHI, 2015).

Há uma década, os cientistas brasileiros descobriram que a semente do agai possui uma quantidade maior de compostos fitoterapicos comparados ao fruto e a casca (ROCHA et al., 2008; ODENDAAL & SCHAUSS, 2014). No extrato hidroalcoólico da semente do agai (ASE, do inglês *agai stone extract*) foram encontrados em maior quantidade oligômeros de proantocianidina (cyanidina-3-O-rutinoside e cyanidina-3-O-glucuronide), ácido protocatélico, ácido dihidroxibenzoíco fenólico e (-) epicatequina (RODRIGUES et al., 2006; SCHAUSS et al., 2006; KANG et al., 2010).

Alem desse propriedade o ASE pode atuar como anti-hipertensivo (ROCHA et al., 2008), vasodilatador dependente do endotélio (ROCHA et al., 2008), hipolipêmante (DE OLIVEIRA, 2015), protetor contra o enfisema pulmonar em ratos expostos à fumaça de cigarro (MOURA et al., 2013), protegendo da obesidade induzida pela dieta e da estenose hepática em camundongos (DE OLIVEIRA et al., 2015) e tratamento contra a endometriose (MACCHADO et al., 2016). Recentemente, verificou-se que o ASE apresenta uma ação antinociceptiva (SUDO et al., 2015) em camundongos submetidos a dor neuropática, através de uma modulação central, aparentemente a partir de receptores opioides, muscarínicos e adrenérgicos.

Devido à ampla ação do extrato hidroalcoólico da semente de agai, cogitou-se que a ampla gama de ações do ASE poderia ser decorrente, em parte, de uma ação no sistema nervoso central. Assim, pesquisas recentes fazem-se necessário a fim de comprovar se o ASE tem ação efetiva no ganho no prelo). No entanto, mais testes em modelos experimentais de demência possivel ação sobre o ganho cognitivo em ratos Wistar (OKINGA et al., 2015, puderm obter que o ASE possua ação ansiolítica, antidepressiva e uma cognitivo que a ampla gama de ações do ASE poderia ser decorrente, em cognitivo.

(STAHL, 2014).

Há um conjunto de sintomas que caracterizam a demência, como o prejuízo na memória (amnésia), déficits de linguagem (afasia), de recômhecimento (agnosia), ou de função executiva, tais como memória de trabalho e resolução de problemas. Ainda podem ocorrer alterações na personalidade do indivíduo, muitas vezes antes do prejuízo da memória destruíção das células cerebrais (KANDEL, 2013) e cujo principal fator de risco limitaço das atividades diárias até a invalidez (OMS, 2017), causada perda de redugão do raciocínio e alteração de comportamento, levando a capacidade de conjuntos de sinais e sintomas que causam a deteriorização mnemônica, é a idade avançada.

A demência é uma síndrome de causa multifatorial, que se refere a um conjunto de sintomas que causam a deteriorização mnemônica, redução do raciocínio e alteração de comportamento, levando a capacidade de recômhecimento (agnosia), ou de função executiva, tais como memória de trabalho e resolução de problemas. Ainda podem ocorrer alterações na personalidade do indivíduo, muitas vezes antes do prejuízo da memória destruição das células cerebrais (KANDEL, 2013) e cujo principal fator de risco limitaço das atividades diárias até a invalidez (OMS, 2017), causada perda de redugão do raciocínio e alteração de comportamento, levando a capacidade de conjuntos de sinais e sintomas que causam a deteriorização mnemônica, é a idade avançada.

I.2. Demência

Dentre os diversos sintomas apresentados na demência, podemos destacar que a síndrome prejudica diretamente dois deles, necessários a adaptação e sobrevivência dos indivíduos no meio ambiente, que são o aprendizado e memória. Através do aprendizado o indivíduo obtém novas informações através da experiência e através da memória essas informações podem ser armazenadas para o entendimento e planejamento de experiências futuras. Fisiologicamente, este sistema envolve a formação de novos neurônios e conexões entre elas, que são chamadas de sinapses. A transmissão de informações de um neurônio a outro ocorre por meio de neurotransmissores aminobutírico (GABA). Atualmente sabemos que mesmo que o mecanismo das doenças neurodegenerativas não seja totalmente esclarecido, os neurotransmissores superactivados são parte importante do processo (BUNO, 2009; GUYTON & HALL, 2006 ; IZQUERDO, 1989; PETRUZZI, 2001; STAHL, 2014).

	Grupo etário (anos)						Total
Região	60-64	65-69	70-74	75-79	80-84	85-89	90+
Total	0,69	0,88	1,22	1,46	1,54	1,15	0,74
Africa	0,07	0,09	0,10	0,11	0,09	0,04	0,02
Americas	0,20	0,13	0,17	0,21	0,25	0,23	0,17
Europa	0,13	0,18	0,32	0,43	0,54	0,44	0,29
Asia	0,39	0,48	0,62	0,72	0,66	0,44	0,26
	3,56						

Quadro 1. Estimativa do número total de casos de demência por faixa etária e região mundo - valores em milhões de pessoas (OMS, 2015).

De acordo com o relatório feito em 2015 pela Organização Mundial da Saúde (OMS), a população de idosos deve dobrar até o ano de 2050, podendo chegar a 2,1 bilhões de pessoas. Com a expansão gradual deste segmento da população, uma das principais consequências dessa mudança na pirâmide populacional é que ela afeta diretamente os sistemas de saúde pública (CHARCHAT-FICHMAN et al., 2005), uma vez que com a chegada da terceira idade, aumenta a propensão a desenvolver doenças cardiovásculares, osteoporose, artrose, diabetes (SILVA et al., 2005) e demências. Segundo o relatório da OMS (2015) em 2030 serão 75,63 milhões de pessoas com demência, em 2050, 135,46 milhões de pessoas (Quadro 1).

Em relação à epidemiologia, a cada três segundos é diagnosticado um novo caso de demência (OMS, 2017) e por este motivo é caracterizada como uma patologia global, que atinge todos os continentes do planeta e acontece 47,47 milhões da população, sendo que em sua maioria (63%) são pessoas que habitam em países subdesenvolvidos (OMS, 2015), já que com o envelhecimento da população mundial, a síndrome é considerada um problema de saúde pública, com um custo anual de 818 bilhões de dólares/ano (OMS, 2017).

No entanto, apesar das doenças neurodegenerativas apresentarem variadas causas, a doença de Alzheimer (DA) é a que apresenta maior prevalência. Segundo STAHL (2014), por deficiência de tratamentos mais avançados, a DA apresenta crescimento exponencial, atingindo 1 em cada 85 pessoas no mundo. Estima-se que em 2006 0,4% da população mundial

Demencia	Características clínicas	Patologia
Doença de Alzheimer	Deficit de memória Afasia Agnosia amiloidé/tau	Demencia com corpuclulos de Lewy Sinais extrapiramidais Sinucleina
Demencia frontotemporal	Deficit de memória, Transstornos da falal/linguagem Tau	Hiperorálideade Desinibição Coreia
Doença de Huntington	Deficit de memória Repetição de triunucleotídeos	Deficit de memória Disfunção executiva
Doença de Creutzfeldt-Jakob	Deficit de memória Ataxia Associada a prions	Deficit de memória Ataxia Mioclonias Distúrbios de linguagem

Tabela 1. Tipos de doenças neurodegenerativas e suas origens (STAHL, 2014 - modificado).

As demências neurodegenerativas (Tabela 1) são aquelas com capacidade irreversível de recuperarão ou ganho de memória e atualmente esses males possuem tratamentos que podem reduzir a progressão da doença, porém não há cura, como a doença de Alzheimer (DA), demência de corpuclulos de Lewy, demência frontotemporal, doença de Huntington, doença de Alzheimer-Jakob.

O estágio inicial pode durar de dois a quatro anos e uma fase assintomática na qual inicialmente há um prejuízo nos neurônios colinérgicos do sistema límbico e hipocampo, que afetam diretamente os processos de

alterações de acordo com o paciente e o grau de desenvolvimento da doença. De acordo com a OMS (2017) todas as demências neurodegenerativas, a AD é a mais importante uma vez que abrange cerca de 60-80% de todas as demências. Seus sintomas são divididos em três estágios, que podem sofrer alterações de acordo com o paciente e o grau de desenvolvimento da doença.

A DA foi descoberta em 1906 pelo médico psiquiatra alemão Alois Alzheimer e envolve um conjunto de alterações neurológicas, progressivas, degenerativas de forma lenta e irreversível. Sua etiologia ainda é desconhecida, embora já se saiba que pode ter predisposição genética e que também pode ser influenciada por complicações fisiopatológicas provenientes de uma dieta inadequada durante a vida (GALLUCCI NETO et al., 2005; STAHL, 2013).

1.2.1 Doença de Alzheimer (DA)

18,62% em 2030. Esses dados afirmam diretamente o Sistema Único de Saúde, que embora não tenha um número exato da quantidade de pessoas com demências no país informou que para o principal tipo de demência neurodegenerativa, a DA, foram gerados 38,13 milhões de atendimentos em 2015 além do fornecimento de medicamentos como galantamina, donepezila e rivastigmina, segundo uma publicação da Associação Brasileira de Alzheimer (ABRAZ, 2016).

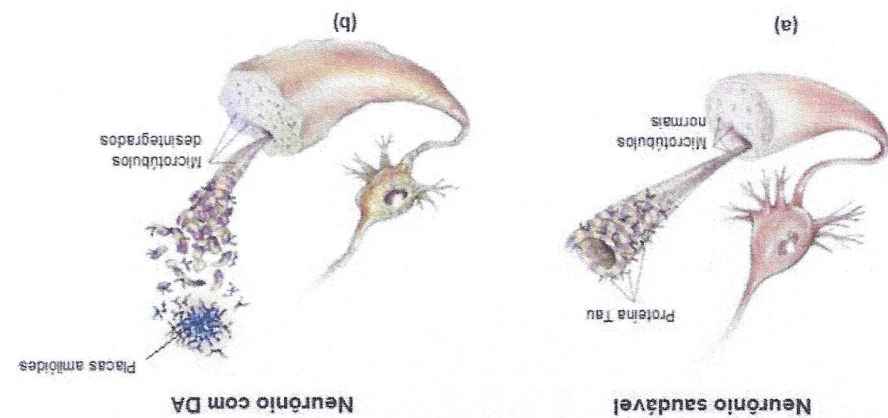
cerebral, cerúleo (Figura 2).
Toda essa evolução da doença decorre de uma perda de neurônios e sinapses nas áreas subcorticais do córtex cerebral. Estudos publicados por Wenk (2013), BRAAK e Del Tredici (2012) demonstram que a consequência dessa perda de células e ligações sinápticas, incita a atrofia e degeneração do lobo temporal, lobo parietal, partes do lobo frontal, do giro cingulo, do tronco

PALLAS & CAMINS, 2006).
leva o paciente a obito (GALLUCCI NETO et al., 2005; KANDEL et al., 2013; irritabilidade; sintomas psicóticos e incapacidade física que gradativamente vigília; mudanças comportamentais na qual ocorre quadros de agressividade e reconhece mais as pessoas a sua volta, há modificações no ciclo de sono-doença. O indivíduo não possui mais memória a longo prazo, não do cérebro. Observados na fase anterior, atingem os neurônios colinérgicos em toda área do sistema límbico e com a diminuição drástica dos níveis de ACh do estágio terminal, a neurodegeneração já atinge uma grande proporção

lobos temporais, amigdala e hipotálamo.
regiões responsáveis pelo armazenamento da memória de longo prazo como o doenças, é observado o início diminuição nos níveis de acetilcolina (ACh) em execução de movimentos e gestos precisos (apraxia). Com a progressão da do sistema límbico e do hipocampo e o indivíduo passa a apresentar prejuizos na memória de curto prazo, quadros de deficit de linguagem e a dificuldade de do estágio intermedio há uma destruição significativa dos neurônios

cálculo).
cognitivas (julgamento, raciocínio abstrato, habilidade visual e espacial e de memória recente que evoluí lentamente para a perda de outras funções de prazo). O paciente tem dificuldade de aquisição de novas habilidades e perda codificando (transformação da memória de curto prazo em memória de longo

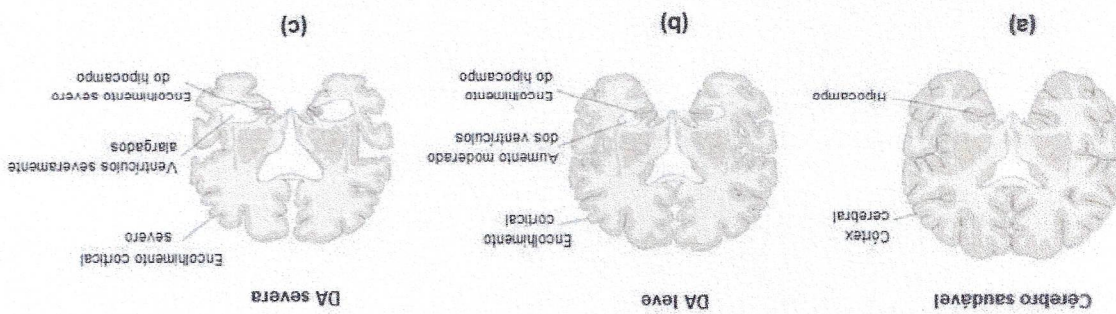
Figura 3. Diferenças entre o neurônio saudável e um neurônio com DA. Representação de um neurônio saudável, com a proteína tau envolvida em microtúbulos normais (a) e um neurônio com DA (b). As placas amiloides observadas e os novos de proteína tau nos microtúbulos desintegram (Bight Focus Foundation, 2015 - modificado)



doença de Alzheimer é uma proteopatia

TRABOSCHI *et al.*, 2004 demonstrou que a partir de cérebro de pessoas com Alzheimer é possível observar placas amiloides, como novos neurorribriares no microscópio. Depósitos densos e praticamente insolúveis de peptídeos beta amiloides e material celular, as placas são observadas no exterior e ao redor dos neurônios. Já os novos são agregados de proteína tau associado aos microtúbulos hiper fosforilados acumulados no interior da célula (Figura 3). Em fungão do acúmulo no cérebro de placas de proteínas beta-amiloides e tau de enovelamento anómalo (HASHIMOTO *et al.*, 2003), a

Figura 2. Comparação entre o cérebro saudável e os danos causados pela DA leve e a DA severa. Uma das anomalias da DA é caracterizada pelo encolhimento do córtex cerebral e do hipocampo. Na imagem acima, há uma comparação entre o cérebro saudável (a); com DA leve (b) e DA severa (c) e suas alterações (Bright Focus Foundation, 2015 - modificado).



² Capacidade de formação para novas sinapses cerebrais.

pesquisas com camundongos é a utilização de células tronco pluripotentes, que uma alternativa, ainda não testada em seres humanos, porém já tem

ainda não há cura para a DA (BRUTON, 2015).

a finalidade de retardar os outros sintomas provocados pela doença. Todavia, administrados medicamentos antidepressivos, antipsicóticos e ansiolíticos, com medicamentos utilizados para retardar a progressão, são também FELICE et al., 2009). Dependendo do estagio da doença, além dos impedem por um determinado período de tempo o declínio da cognição (DE que esses medicamentos não bloqueia a morte dos neurônios, apenas No entanto, os benefícios da sua utilização são pouco significativos, já

(STANDAERT & YOUNG, 2005).

receptores de NMDA é bastante eficaz nos casos de DA moderada e grave formação de memórias a longo prazo. A memória é um antagonista dos promovendo uma melhor cognição leve, uma vez que a ACh está envolvida na imibições da acetilcolinesterase, impedem a degradação da ACTh, outro um antagonista dos receptores de glutamato - NMDA (memória). Os acetilcolinesterase (tacrina, rivastigmina, galantamina e donepezila), sendo o problemas cognitivos de Alzheimer: são inibições da

utilização de glicose pelos neurônios (CHEN e YAN, 2006).
de pacientes com Alzheimer, inibições determinadas funções enzimáticas e a sabem que o beta-amilóide se acumula nas mitocôndrias das células de cérebros (TAPIA-ARANCIBIA et al., 2008; SCHINDOWSKI et al., 2008). Também se diferentes fatores neurotóxicos e na expressão de receptores, como o fator neurotrófico derivado do cérebro (BDNF), responsável pela neuropatologia² imunitária (GREIG et al., 2004) bem como alterações na distribuição de inflamatórios que podem ser decorrentes da lesão do tecido ou uma resposta Além disso, na doença de Alzheimer, existem diversos processos

Devido a estes fatores, a RI é indicada na literatura científica como um fator pró-oxidativo, considerando o grande número de disfunções metabólicas associadas a ela, como doença hepática gordurosa não alcoólica, síndrome dos ovários policísticos, hiperuricemia, doença renal crônica, insuficiência cardíaca, alterações cognitivas e câncer (CARVALHEIRA & SAAD, 2006). Quando além desses fatores o indivíduo portador de RI é obeso, os danos

A insulina é um hormônio que atua em receptores de membrana específicos, atuando no transporte da glicose até o meio intracelular, viabilizando a nutrição e a gerador de energia. A resistência insulinica (RI) é caracterizada por uma condição metabólica anormal que bloqueia este processo de nutrição celular pela auséncia de glicose e os níveis dessa substância circulante na corrente sanguínea aumentam, uma vez que o carboidrato não consegue entrar na célula. Consequentemente esta condição ativa a síntese de enzimas glicolíticas que, em alta concentração suscitam o aparecimento do estresse oxidativo, alterações no metabolismo encefálico (GUIMARÃES & LAZARETTI, 2017).

I.3. Diabetes e a resistência insulínica

Estudos recentes tem demonstrado que a resistência a insulina tem papel prejudicial importante sobre a memória (LOURENGÓ *et al.*, 2013; DE FELICE, 2015). Aparentemente, o aumento da resistência à insulina no Sistema Nervoso Central (SNC) é capaz de aumentar o estresse oxidativo, favorecendo a formação de agregados proteicos que favorecem a lise celular, principalmente das células do hipocampo, sendo um importante fator no desenvolvimento do mal de Alzheimer (CRAFT *et al.*, 2013).

vém obtendo resultados positivos, porém ainda não há a implementação de uma técnica que consiga reproduzir a terapia celular com segurança e eficácia (Suh & RA, 2012).

Os fatores importantes para a detecção da RI e obesidade em animais exacerbado de peptídeos anorexigênicos ou a diminuição da agção desses alterações da transdução nos receptores IRS-1, IRS-2 e IRS-3) promove a em seus receptores, modificando no receptor da insulina (delegado ou fisioterapêuticas têm uma diminuição na produção do hormônio e/ou alterações são a alteração da resposta à leptina, uma vez que nessas condições

similares à leptina homólogas aos genes humanos (ZHANG et al., 1994). Os animais utilizados para esta finalidade possuem genes de tratamento. Visando a compreensão da fisioterapia da resistência insulínica e o seu por uma dieta desequilibrada (CESARETTI; KOHLMANN JUNIOR, 2006), experimentais com animais são utilizados para mimetizar as doenças causadas ao consumo de alimentos pobres em antioxidantes (GOTLIBE; MORAESUTTI; CRUZ, 2011). Para entender melhor esta patologia, modelos contribuído para o desenvolvimento das doenças citadas anteriormente, devendo até o consumo exacerbado de gorduras e açúcares dos dias atuais podem ser induzidas pelo próprio sujeito através da dieta. Desde o período pré-histórico A alteração da dieta humana que podem acarretar na RI podem ser

morbidade e mortalidade no mundo (DE OLIVEIRA, 2010). TAMBASCIÁ, 2006), que atualmente é considerado a maior causa de síndrome da resistência insulínica ou síndrome metabólica (GELONEZE & Essas alterações da RI leva o metabolismo a uma condição conhecida como hiperglicemia e aumento do inibidor-1 do ativador de plasminogênio (PAI-1). Carbohidratos, obesidade central, redução nos níveis de colesterol HDL, hiperlipidemia arterial, doença vascular aterosclerótica, intolerância a hidratos de carbono mudanças metabólicas/cardiovasculares como hipertensão arterial, diabetes melitus tipo 1, cetoacidose diabética, obesidade e em pessoas com diabetes avançada. Pacientes não diabéticos podem também apresentar a RI tipo 1 descontrolada, cetoacidose diabética, obesidade e em pessoas com diabetes tipo 1 apresentar RI individuos portadores de diabetes tipo 2, diabetes

2017). citados anteriormente são ainda mais severos (GUIMARÃES & LAZARETTI,

Ainda Lourenço et al., 2013 e de Felice et al., 2015 observaram que o diabetes mellitus do tipo II pode facilitar o desenvolvimento da demência, uma vez que a RI exerce danos significativos à memória. Em uma pesquisa anterior,

2014).

diabéticos e a depressão no nível do sistema monoaminérgico cerebral (ALVES, 2014). diabéticos e a depressão induzindo que pode ocorrer uma relação entre o ocorrem na depressão induzindo que pode ocorrer uma relação entre o serotonínergicas em várias partes do cérebro. Essas mudanças também esta patologia é induzida em ratos exibe um bloqueto significativo nas funções sistema monoaminérgico cerebral tanto em ratos como em humanos. Quando taxas de glicose derivadas do diabetes mellitus está associado a alterações no Devido a esta condição, Husain et al., 2011 comprovaram que as altas

metabolismo aeróbico (SHEPHERD, 1994).

elevaria ainda mais a dependência da glicose circulante e o oxigênio para o metabolicas os neurônios ainda reservam a glicose na forma de glicogênio, as junções apertadas das células endoteliais impedem a passagem de grandes moléculas. Para garantir a produção de energia para outras atividades barreira hematocelíaca que transpassa pede nos íons e moléculas, já que substâncias necessárias à sua sobrevivência, são adcionadas através da especial, uma vez que são completamente dependentes de glicose e, as outras entretanto as células do cérebro de vertebrados apresentam uma condição aglúcares para a produção de energia ou para reservar na forma de glicogênio. A maior parte das células absorve e metaboliza uma diversidade de

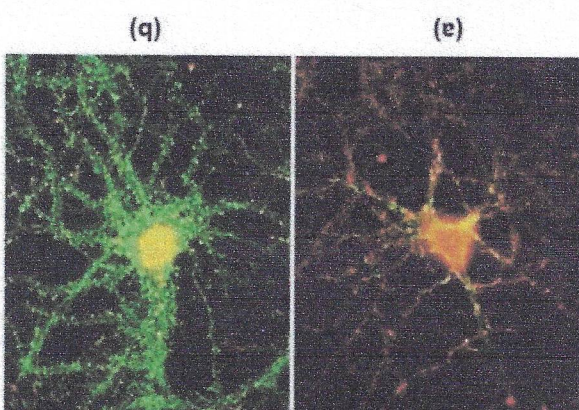
1.3.1. Os efeitos da RI no sistema nervoso central (SNC)

animais recém-nascidos (CESARTELLI; KOHLMANN JUNIOR, 2006). peptídeos no hipotálamo que ocorrem em camundongos C57Bl/6. Para a indução da RI e da obesidade, os animais são tratados com uma ou mais dessas condições: dieta rica em frutose, dieta hipergrálica, excesso de glicocorticoides ou lesão hipotalâmica induzida por monoglutamato de sódio em

Em outro estudo observou-se que a Metformina que é utilizada como um sensibilizador da insulina é capaz de atravessar a barreira hematencefálica, regulando o mecanismo de controle do apetite através da redução dos níveis de leptina e, consequentemente causando a redução de peso, além do efeito

Esses achados instigaram estudos com fármacos utilizados inicialmente para o tratamento da diabetes, com a perspectiva de se reverter a desensibilização e normalizar as funções neuroniais (HOLSCHER, 2014). A primeira opção de Stockhorst et al. (2004) foi justamente o tratamento com insulina já que o hormônio reduz os níveis de açúcares no sangue. Benedict et al. (2004) administraram medicamento via nasal para que os pacientes não diabéticos pudessem utilizá-lo. Nos experimentos com animais, Zhao et al. (2004) comprovou que a insulina injetada no cérebro intraventricular melhora o desempenho da memória em ratos e quando aplicado via spray nasal em humanos aumenta a concentração destes pacientes, contudo a longo prazo tanto em humanos quanto em animais a administração de insulina prejudica a transmissão sinaptica neuronal (DE FELICE et al., 2014).

Figura 4. Efeito protetor da insulina em neurônios. Sem insulina (a) os aglomerados de pepídeos (em vermelho) se ligam e eliminam as sinapses (em verde). Com insulina (b) esses aglomerados desaparecem e o neurônio preserva sinapses ativas (DE FELICE et al., 2009).



de Fellice et al., 2009, verificaram que a insulina em níveis normais protege os neurônios da sagão de aglomerados de peptídeos, impedindo assim a indução da morte celular (Figura 4).

Alimentos	Referência	Artigos
SOUZA, 2012	Efeito neuroprotetor da curcumina (<i>Curcuma longa L.</i>) sobre o estresse oxidativo, inflamatório, memória e dano neuronal de ratos submetidos a isquemia cerebral transitoria	Curcuma Efeito do extrato etanólico de curcuma
DOS SANTOS SANT'ANNA, 2013	atividade da enzima histona desacetilação (<i>Curcuma longa L.</i>) sobre a longa (<i>Curcuma longa L.</i>) no processo de envolvimento cerebral no processo de envolvimento cerebral	Mitílio Modulação da plasticidade do hipocampo e do comportamento cognitivo por suplementação de mitílio (<i>Vaccinium myrtillus</i>) a curto prazo em ratos idosos
BARANKIEWICZ, 2015	Poder antioxidante da curcuma (<i>Curcuma longa L.</i>)	Roma AG-ao antiidiabético do extrato de flor de Punica granatum: atividade de PPAR- γ identificada de um componente ativo
HUANG et al., 2005	Resíduos de romã (<i>Punica granatum</i>) na	

Tabela 2. Exemplos de alimentos ricos em polifenóis com ag-ao neuroprotetora e que combatem o estresse oxidativo e a RI.

Estudos recentes apontam na utilização de polifenóis, uma vez que essas substâncias derivadas de compostos naturais podem diminuir a resistência insulínica, têm ag-ao antiinflamatória e ainda reduzem os radicais livres, previnindo o estresse oxidativo (Tabela 2). Há uma diversidade de alimentos com efeitos antioxidantes que possuem o potencial de modular a estrutura e fungão do cérebro (Tabela 2), uma vez que mesmos componentes 2% do peso corporal, este órgão consome 20% da energia total derivada do consumo de nutriente (PHILLIPS, 2017).

Responsável pela produção de EROS (PORTELA, 2014), inibidor do complexo mitocondrial na cadeia de transporte de elétrons (CTE),

<p>Uva</p> <p>Efeito do extrato da casca de uva (<i>Vitis vinifera</i>) (ACH 09) na hiperglycemia e no cronicas não-transmissíveis</p> <p>TEIXEIRA, 2008</p>
<p>Chá-verde</p> <p>Chá-verde (<i>Camellia sinensis</i>) e suas propriedades funcionais nas doenças crônicas não-transmissíveis</p> <p>SENGER et al., 2010</p>
<p>Chá-verde</p> <p>Suplementação com chá-verde (<i>Camellia sinensis</i>) tem efeito neuroprotetor-</p> <p>GARCIA et al., 2017</p>
<p>Chá-verde</p> <p>antioxidante em um modelo da doença de Alzheimer</p> <p>WANG et al., 2014</p>
<p>Cacau</p> <p>Os extractos de cacau (<i>Theobroma cacao</i>) reduzem a oligomerização da β amiloida: implicações para a melhora cognitiva da doença de Alzheimer</p> <p>WANG et al., 2014</p>
<p>Chococolate e cérebro: impacto neurobiológico de flavonóides de cacau</p> <p>SOKOLOV et al., 2013</p>
<p>Chococolate e cérebro: impacto compotamente</p> <p>(<i>Theobroma cacao</i>) na cognição e no Alzheimer a cognição em ratos idosos é atenuada significativamente em ratos idosos que recebem a óleacea Mart e Euterpe precatoria Mart.)</p> <p>CAREY et al., 2016</p>
<p>A</p> <p>A suplementação dietética com as polpas de agai ricas em polifenóis (<i>Euterpe oleifera</i>) regulando a lipogênese hepática e a atenua a inflamação em ratos idosos que recebem a óleacea Mart e Euterpe precatoria Mart.)</p> <p>DE OLIVEIRA et al., 2015</p>
<p>Agai</p> <p>Polifenóis derivados de <i>Euterpe oleifera</i> regulando a lipogênese hepática e a atenua a inflamação em ratos idosos que recebem a óleacea Mart e Euterpe precatoria Mart.)</p> <p>CAREY et al., 2016</p>
<p>Agai</p> <p>excreção de colesterol.</p> <p>WONG et al., 2013</p>
<p>Agai</p> <p>regulando a lipogênese hepática e a induzida pela dieta e do frigado gordo, melhorar a cognição em ratos idosos que recebem a óleacea Mart e Euterpe precatoria Mart.)</p> <p>DE OLIVEIRA et al., 2015</p>
<p>Agai</p> <p>excreção de colesterol.</p> <p>WONG et al., 2013</p>
<p>Agai</p> <p>neuroprotetores contra a exposição ao óleacea Mart) exerce efeitos amiloides in vitro</p> <p>WONG et al., 2013</p>
<p>Agai</p> <p>O extrato de baga do Agai (<i>Euterpe</i> com uma dieta rica em gordura.</p> <p>DE OLIVEIRA et al., 2010</p>
<p>Agai</p> <p>induzida em ratos C57BL / 6J alimentados com componentes da síndrome metabólica frutos de <i>Euterpe oleifera</i> Mart. nos efeitos de um extrato obtido a partir de frutos de <i>Euterpe oleifera</i> Mart. nos componentes da síndrome metabólica induzida em ratos C57BL / 6J alimentados com uma dieta rica em gordura.</p> <p>DE OLIVEIRA et al., 2010</p>
<p>MORZELLE</p> <p>Prevenção da doença de Alzheimer</p> <p>MORZELLE et al., 2012</p>
<p>MORZELLE</p> <p>Efeito neuroprotector da casca da romã (<i>Punica granatum</i>)</p> <p>MORZELLE et al., 2012</p>

Alguns autores sugerem que os polifenóis aumentam a neurogênese do hipocampo no indivíduo adulto mediado por BDNF (ZAINUDIN; THURET, 2012). Outros estudos observaram que o tratamento com flavonóides melhoram quadros de depressão (CHANG *et al.*, 2016) (KHALID *et al.*, 2007) e a memória espacial em ratos idosos mediado pelo fator de transcrição CREB (elemento de ligação à proteína responsável ao AMPC) e produzido por BDNF (fator neurotrófico derivado do cérebro) no hipocampo (WILLIAMS *et al.*, 2008). A curcuma utilizada como tempero, possui um alto teor de compostos fenólicos não flavonóides e em altas concentrações é citotóxica, porém em baixas concentrações promove plasticidade cerebral em ratos, diminuindo sintomas de depressão e aumentando a memória de trabalho espacial em ratos, por meio da ativação de CREB, BDNF e ainda ativam quinases reguladas por sinal

HARADA et al., 2011	O resveratrol melhora a função cognitiva camundongos, aumentando a produção de fator de crescimento semelhante à insulina l no hipocampo	sistema de sinalização de insulina em camundongos diabéticos	HARADA et al., 2011
TORRES ROSAS et al., 2007	Avaliágão das atividades analgésicas, anti- inflamatórias, antioxidantes e antimicrobianas das folhas de <i>Aristotelia</i> <i>chilensis</i> e de suscipientes de efeitos tóxicos	Madrui 2007	Torres Rosas et al., 2007
FARIAS MARENGÓ et al., 2009	Determinação dos processos envolvidos na atividade analgésica das folhas de <i>Aristotelia chilensis</i> em um modelo de dor termico agudo	FARIAS MARENGÓ et al., 2009	FARIAS MARENGÓ et al., 2009
LEITE et al., 2010	Avaliágão da capacidade antioxidante "in vivo" e "in vitro" de antociáninas na casca de jabuticaba (<i>Myciaria laboticaba</i>) de jabuticaba (<i>Myciaria laboticaba</i>) jabuticaba (<i>Myciaria laboticaba</i>) uma uva- brasiliera melhorou o perfil lipídico plasmático no estresse oxidativo mediado por estreptozotocina em ratos diabéticos	LEITE et al., 2010	LEITE et al., 2010
ALEZANDRO, 2013	jabuticaba	ALEZANDRO, 2013	ALEZANDRO, 2013

extracelular (ERKs) e quinase P38 que são envolvidos na resposta ao estresse e plasticidade neuronal (LEE et al., 2013)

Frente aos possíveis benéficos dos polifenóis à memória, a nossa hipótese é de que o ASE em fungão de seus múltiplos efeitos no sistema cardiovascular, no esforço físico, bem como sua ação na form e na saciedade, sugere que o extrato pode ter alguma ação no Sistema Nervoso Central. Trabalho recente desenvolvido por Sudó e colaboradores (2015) comprovou que o ASE apresenta uma importante ação antinociceptiva em modelos de camundongos para dor neuropática, com eficácia similar a mitriptilina. Seu mecanismo de ação ainda não está claro, mas sofre modulação opioidé, demonstrou que o suco de agáu apresenta importante efeito neuroprotector (Lourenço et al., 2013). Estudo desenvolvido por Wong e colaboradores (2013), demonstrou que a resistência à insulina tem papel importante na demência desempenhar um papel importante na memória, uma vez que estudo recente somando-se a isso a ação do ASE sobre a resistência insulinica pode contra a exposição a B-amiloide in vitro.

Catecolaminaérgico e o óxido nítrico. Ação da catecolaminaérgica e óxido nítrico. O óxido nítrico (ON) é um gás que atua como mediador de respostas fisiológicas e patológicas. Sua produção é mediada por enzimas como a nitrata redutase (NR) e a nitrato redutase (NTR). O ON é sintetizado a partir de aminoácidos, principalmente a L-arginina, catalisado por enzimas como a óxido nítrico sintase (ONS) e a óxido nítrico sintase tipo II (NOS-II). O ON tem efeitos reguladores em muitos sistemas biológicos, incluindo o sistema nervoso central (SNC) e o sistema imunológico. No SNC, o ON pode desempenhar papéis importantes em processos como a plasticidade sináptica, a formação de memória e a regulação da função cerebral. Ele também pode influenciar a função das glândulas salivares, contribuindo para a manutenção da saúde bucal. O ON é produzido por células da mucosa oral, especialmente por células da glândula salivar submandibular. A ação do óxido nítrico na saliva é mediada por enzimas como a óxido nítrico sintase tipo II (NOS-II) e a óxido nítrico sintase tipo I (NOS-I). O ON é produzido a partir de aminoácidos, principalmente a L-arginina, catalisado por enzimas como a óxido nítrico sintase (ONS) e a óxido nítrico sintase tipo II (NOS-II). O ON tem efeitos reguladores em muitos sistemas biológicos, incluindo o sistema nervoso central (SNC) e o sistema imunológico. No SNC, o ON pode desempenhar papéis importantes em processos como a plasticidade sináptica, a formação de memória e a regulação da função cerebral. Ele também pode influenciar a função das glândulas salivares, contribuindo para a manutenção da saúde bucal. O ON é produzido por células da mucosa oral, especialmente por células da glândula salivar submandibular. A ação do óxido nítrico na saliva é mediada por enzimas como a óxido nítrico sintase tipo II (NOS-II) e a óxido nítrico sintase tipo I (NOS-I).

II. OBJETIVO GENERAL

O objetivo do trabalho é avaliar o efeito do ASE na memória de camundongos C57Bl/6 em idade avançada e submetidos a dieta hipercalórica.

II.1 Objetivos específicos

- ✓ Afetir o efeito do ASE sobre a glicemia;
 - ✓ Avaliar se a RI afeta a memória de camundongos insulino-resistentes;
 - ✓ Analisar se o ASE favorece o ganho de memória de camundongos insulino-
 - ✓ Resistentes em idade avançada que já apresentam dano cognitivo;
 - ✓ Determinar o desempenho da memória e da aprendizagem de camundongos insulino-resistentes em idade avançada.

Uma vez obtido o lipofílizado o quantitativo de polifenóis total foi medido através de método colorimétrico descrito por Singleton & Rossi (1975). Em balão volumétrico de 20 mL, adicionaram-se 2mL de amostra diluída (1:10), 10 mL de reagente de Folin Ciocalteau diluído 1:9 e 8 mL de CaZCO₃ a 75%. Após, foi deixado em banho-maria a 50°C, por 5 minutos. Em seguida, foram tomadas leituras a 765 nm em espetrofotômetro UV/VIS. Para quantificação foi empregada uma curva padrão com solução de ácido gálico nas seguintes concentrações: 0, 25, 50, 75, 100, 125, 150, 175, 200, 225, 250, 275, 300, 325, 350, 375, 400, 425, 450, 475, 500, 525, 550, 575, 600, 625, 650, 675, 700, 725, 750, 775, 800, 825, 850, 875, 900, 925, 950, 975, 1000, 1025, 1050, 1075, 1100, 1125, 1150, 1175, 1200, 1225, 1250, 1275, 1300, 1325, 1350, 1375, 1400, 1425, 1450, 1475, 1500, 1525, 1550, 1575, 1600, 1625, 1650, 1675, 1700, 1725, 1750, 1775, 1800, 1825, 1850, 1875, 1900, 1925, 1950, 1975, 2000, 2025, 2050, 2075, 2100, 2125, 2150, 2175, 2200, 2225, 2250, 2275, 2300, 2325, 2350, 2375, 2400, 2425, 2450, 2475, 2500, 2525, 2550, 2575, 2600, 2625, 2650, 2675, 2700, 2725, 2750, 2775, 2800, 2825, 2850, 2875, 2900, 2925, 2950, 2975, 3000, 3025, 3050, 3075, 3100, 3125, 3150, 3175, 3200, 3225, 3250, 3275, 3300, 3325, 3350, 3375, 3400, 3425, 3450, 3475, 3500, 3525, 3550, 3575, 3600, 3625, 3650, 3675, 3700, 3725, 3750, 3775, 3800, 3825, 3850, 3875, 3900, 3925, 3950, 3975, 4000, 4025, 4050, 4075, 4100, 4125, 4150, 4175, 4200, 4225, 4250, 4275, 4300, 4325, 4350, 4375, 4400, 4425, 4450, 4475, 4500, 4525, 4550, 4575, 4600, 4625, 4650, 4675, 4700, 4725, 4750, 4775, 4800, 4825, 4850, 4875, 4900, 4925, 4950, 4975, 5000, 5025, 5050, 5075, 5100, 5125, 5150, 5175, 5200, 5225, 5250, 5275, 5300, 5325, 5350, 5375, 5400, 5425, 5450, 5475, 5500, 5525, 5550, 5575, 5600, 5625, 5650, 5675, 5700, 5725, 5750, 5775, 5800, 5825, 5850, 5875, 5900, 5925, 5950, 5975, 6000, 6025, 6050, 6075, 6100, 6125, 6150, 6175, 6200, 6225, 6250, 6275, 6300, 6325, 6350, 6375, 6400, 6425, 6450, 6475, 6500, 6525, 6550, 6575, 6600, 6625, 6650, 6675, 6700, 6725, 6750, 6775, 6800, 6825, 6850, 6875, 6900, 6925, 6950, 6975, 7000, 7025, 7050, 7075, 7100, 7125, 7150, 7175, 7200, 7225, 7250, 7275, 7300, 7325, 7350, 7375, 7400, 7425, 7450, 7475, 7500, 7525, 7550, 7575, 7600, 7625, 7650, 7675, 7700, 7725, 7750, 7775, 7800, 7825, 7850, 7875, 7900, 7925, 7950, 7975, 8000, 8025, 8050, 8075, 8100, 8125, 8150, 8175, 8200, 8225, 8250, 8275, 8300, 8325, 8350, 8375, 8400, 8425, 8450, 8475, 8500, 8525, 8550, 8575, 8600, 8625, 8650, 8675, 8700, 8725, 8750, 8775, 8800, 8825, 8850, 8875, 8900, 8925, 8950, 8975, 9000, 9025, 9050, 9075, 9100, 9125, 9150, 9175, 9200, 9225, 9250, 9275, 9300, 9325, 9350, 9375, 9400, 9425, 9450, 9475, 9500, 9525, 9550, 9575, 9600, 9625, 9650, 9675, 9700, 9725, 9750, 9775, 9800, 9825, 9850, 9875, 9900, 9925, 9950, 9975, 10000, 10025, 10050, 10075, 10100, 10125, 10150, 10175, 10200, 10225, 10250, 10275, 10300, 10325, 10350, 10375, 10400, 10425, 10450, 10475, 10500, 10525, 10550, 10575, 10600, 10625, 10650, 10675, 10700, 10725, 10750, 10775, 10800, 10825, 10850, 10875, 10900, 10925, 10950, 10975, 11000, 11025, 11050, 11075, 11100, 11125, 11150, 11175, 11200, 11225, 11250, 11275, 11300, 11325, 11350, 11375, 11400, 11425, 11450, 11475, 11500, 11525, 11550, 11575, 11600, 11625, 11650, 11675, 11700, 11725, 11750, 11775, 11800, 11825, 11850, 11875, 11900, 11925, 11950, 11975, 12000, 12025, 12050, 12075, 12100, 12125, 12150, 12175, 12200, 12225, 12250, 12275, 12300, 12325, 12350, 12375, 12400, 12425, 12450, 12475, 12500, 12525, 12550, 12575, 12600, 12625, 12650, 12675, 12700, 12725, 12750, 12775, 12800, 12825, 12850, 12875, 12900, 12925, 12950, 12975, 13000, 13025, 13050, 13075, 13100, 13125, 13150, 13175, 13200, 13225, 13250, 13275, 13300, 13325, 13350, 13375, 13400, 13425, 13450, 13475, 13500, 13525, 13550, 13575, 13600, 13625, 13650, 13675, 13700, 13725, 13750, 13775, 13800, 13825, 13850, 13875, 13900, 13925, 13950, 13975, 14000, 14025, 14050, 14075, 14100, 14125, 14150, 14175, 14200, 14225, 14250, 14275, 14300, 14325, 14350, 14375, 14400, 14425, 14450, 14475, 14500, 14525, 14550, 14575, 14600, 14625, 14650, 14675, 14700, 14725, 14750, 14775, 14800, 14825, 14850, 14875, 14900, 14925, 14950, 14975, 15000, 15025, 15050, 15075, 15100, 15125, 15150, 15175, 15200, 15225, 15250, 15275, 15300, 15325, 15350, 15375, 15400, 15425, 15450, 15475, 15500, 15525, 15550, 15575, 15600, 15625, 15650, 15675, 15700, 15725, 15750, 15775, 15800, 15825, 15850, 15875, 15900, 15925, 15950, 15975, 16000, 16025, 16050, 16075, 16100, 16125, 16150, 16175, 16200, 16225, 16250, 16275, 16300, 16325, 16350, 16375, 16400, 16425, 16450, 16475, 16500, 16525, 16550, 16575, 16600, 16625, 16650, 16675, 16700, 16725, 16750, 16775, 16800, 16825, 16850, 16875, 16900, 16925, 16950, 16975, 17000, 17025, 17050, 17075, 17100, 17125, 17150, 17175, 17200, 17225, 17250, 17275, 17300, 17325, 17350, 17375, 17400, 17425, 17450, 17475, 17500, 17525, 17550, 17575, 17600, 17625, 17650, 17675, 17700, 17725, 17750, 17775, 17800, 17825, 17850, 17875, 17900, 17925, 17950, 17975, 18000, 18025, 18050, 18075, 18100, 18125, 18150, 18175, 18200, 18225, 18250, 18275, 18300, 18325, 18350, 18375, 18400, 18425, 18450, 18475, 18500, 18525, 18550, 18575, 18600, 18625, 18650, 18675, 18700, 18725, 18750, 18775, 18800, 18825, 18850, 18875, 18900, 18925, 18950, 18975, 19000, 19025, 19050, 19075, 19100, 19125, 19150, 19175, 19200, 19225, 19250, 19275, 19300, 19325, 19350, 19375, 19400, 19425, 19450, 19475, 19500, 19525, 19550, 19575, 19600, 19625, 19650, 19675, 19700, 19725, 19750, 19775, 19800, 19825, 19850, 19875, 19900, 19925, 19950, 19975, 20000, 20025, 20050, 20075, 20100, 20125, 20150, 20175, 20200, 20225, 20250, 20275, 20300, 20325, 20350, 20375, 20400, 20425, 20450, 20475, 20500, 20525, 20550, 20575, 20600, 20625, 20650, 20675, 20700, 20725, 20750, 20775, 20800, 20825, 20850, 20875, 20900, 20925, 20950, 20975, 21000, 21025, 21050, 21075, 21100, 21125, 21150, 21175, 21200, 21225, 21250, 21275, 21300, 21325, 21350, 21375, 21400, 21425, 21450, 21475, 21500, 21525, 21550, 21575, 21600, 21625, 21650, 21675, 21700, 21725, 21750, 21775, 21800, 21825, 21850, 21875, 21900, 21925, 21950, 21975, 22000, 22025, 22050, 22075, 22100, 22125, 22150, 22175, 22200, 22225, 22250, 22275, 22300, 22325, 22350, 22375, 22400, 22425, 22450, 22475, 22500, 22525, 22550, 22575, 22600, 22625, 22650, 22675, 22700, 22725, 22750, 22775, 22800, 22825, 22850, 22875, 22900, 22925, 22950, 22975, 23000, 23025, 23050, 23075, 23100, 23125, 23150, 23175, 23200, 23225, 23250, 23275, 23300, 23325, 23350, 23375, 23400, 23425, 23450, 23475, 23500, 23525, 23550, 23575, 23600, 23625, 23650, 23675, 23700, 23725, 23750, 23775, 23800, 23825, 23850, 23875, 23900, 23925, 23950, 23975, 24000, 24025, 24050, 24075, 24100, 24125, 24150, 24175, 24200, 24225, 24250, 24275, 24300, 24325, 24350, 24375, 24400, 24425, 24450, 24475, 24500, 24525, 24550, 24575, 24600, 24625, 24650, 24675, 24700, 24725, 24750, 24775, 24800, 24825, 24850, 24875, 24900, 24925, 24950, 24975, 25000, 25025, 25050, 25075, 25100, 25125, 25150, 25175, 25200, 25225, 25250, 25275, 25300, 25325, 25350, 25375, 25400, 25425, 25450, 25475, 25500, 25525, 25550, 25575, 25600, 25625, 25650, 25675, 25700, 25725, 25750, 25775, 25800, 25825, 25850, 25875, 25900, 25925, 25950, 25975, 26000, 26025, 26050, 26075, 26100, 26125, 26150, 26175, 26200, 26225, 26250, 26275, 26300, 26325, 26350, 26375, 26400, 26425, 26450, 26475, 26500, 26525, 26550, 26575, 26600, 26625, 26650, 26675, 26700, 26725, 26750, 26775, 26800, 26825, 26850, 26875, 26900, 26925, 26950, 26975, 27000, 27025, 27050, 27075, 27100, 27125, 27150, 27175, 27200, 27225, 27250, 27275, 27300, 27325, 27350, 27375, 27400, 27425, 27450, 27475, 27500, 27525, 27550, 27575, 27600, 27625, 27650, 27675, 27700, 27725, 27750, 27775, 27800, 27825, 27850, 27875, 27900, 27925, 27950, 27975, 28000, 28025, 28050, 28075, 28100, 28125, 28150, 28175, 28200, 28225, 28250, 28275, 28300, 28325, 28350, 28375, 28400, 28425, 28450, 28475, 28500, 28525, 28550, 28575, 28600, 28625, 28650, 28675, 28700, 28725, 28750, 28775, 28800, 28825, 28850, 28875, 28900, 28925, 28950, 28975, 29000, 29025, 29050, 29075, 29100, 29125, 29150, 29175, 29200, 29225, 29250, 29275, 29300, 29325, 29350, 29375, 29400, 29425, 29450, 29475, 29500, 29525, 29550, 29575, 29600, 29625, 29650, 29675, 29700, 29725, 29750, 29775, 29800, 29825, 29850, 29875, 29900, 29925, 29950, 29975, 30000, 30025, 30050, 30075, 30100, 30125, 30150, 30175, 30200, 30225, 30250, 30275, 30300, 30325, 30350, 30375, 30400, 30425, 30450, 30475, 30500, 30525, 30550, 30575, 30600, 30625, 30650, 30675, 30700, 30725, 30750, 30775, 30800, 30825, 30850, 30875, 30900, 30925, 30950, 30975, 31000, 31025, 31050, 31075, 31100, 31125, 31150, 31175, 31200, 31225, 31250, 31275, 31300, 31325, 31350, 31375, 31400, 31425, 31450, 31475, 31500, 31525, 31550, 31575, 31600, 31625, 31650, 31675, 31700, 31725, 31750, 31775, 31800, 31825, 31850, 31875, 31900, 31925, 31950, 31975, 32000, 32025, 32050, 32075, 32100, 32125, 32150, 32175, 32200, 32225, 32250, 32275, 32300, 32325, 32350, 32375, 32400, 32425, 32450, 32475, 32500, 32525, 32550, 32575, 32600, 32625, 32650, 32675, 32700, 32725, 32750, 32775, 32800, 32825, 32850, 32875, 32900, 32925, 32950, 32975, 33000, 33025, 33050, 33075, 33100, 33125, 33150, 33175, 33200, 33225, 33250, 33275, 33300, 33325, 33350, 33375, 33400, 33425, 33450, 33475, 33500, 33525, 33550, 33575, 33600, 33625, 33650, 33675, 33700, 33725, 33750, 33775, 33800, 33825, 33850, 33875, 33900, 33925, 33950, 33975, 34000, 34025, 34050, 34075, 34100, 34125, 34150, 34175, 34200, 34225, 34250, 34275, 34300, 34325, 34350, 34375, 34400, 34425, 34450, 34475, 34500, 34525, 34550, 34575, 34600, 34625, 34650, 34675, 34700, 34725, 34750, 34775, 34800, 34825, 34850, 34875, 34900, 34925, 34950, 34975, 35000, 35025, 35050, 35075, 35100, 35125, 35150, 35175, 35200, 35225, 35250, 35275, 35300, 35325, 35350, 35375, 35400, 35425, 35450, 35475, 35500, 35525, 35550, 35575, 35600, 35625, 35650, 35675, 35700, 35725, 35750, 35775, 35800, 35825, 35850, 35875, 35900, 35925, 35950, 35975, 36000, 36025, 36050, 36075, 36100, 36125, 36150, 36175, 36200, 36225, 36250, 36275, 36300, 36325, 36350, 36375, 36400, 36425, 36450, 36475, 36500, 36525, 36550, 36575, 36600, 36625, 36650, 36675, 36700, 36725, 36750, 36775, 36800, 36825, 36850, 36875, 36900, 36925, 36950, 36975, 37000, 37025, 37050, 37075, 37100, 37125, 37150, 37175, 37200, 37225, 37250, 37275, 37300, 37325, 37350, 37375, 37400, 37425, 37450, 37475, 37500, 37525, 37550, 37575, 37600, 37625, 37650, 37675, 37700, 37725, 37750, 37775, 37800, 37825, 37850, 37875, 37900, 37925, 37950, 37975, 38000, 38025, 38050, 38075, 38100, 38125, 38150, 38175, 38200, 38225, 38250, 38275, 38300, 38325, 38350, 38375, 38400, 38425, 38450, 38475, 38500, 38525, 38550, 38575, 38600, 38625, 38650, 38675, 38700, 38725, 38750, 38775, 38800, 38825, 38850, 38875, 38900, 38925, 38950, 38975, 39000, 39025, 39050, 39075, 39100, 39125, 39150, 39175, 39200, 39225, 39250, 39275, 39300, 39325, 39350, 39375, 39400, 39425, 39450, 39475, 39500, 39525, 39550, 39575, 39600, 39625, 39650, 39675, 39700, 39725, 39750, 39775, 39800, 39825, 39850, 39875, 39900, 39925, 39950, 39975, 40000, 40025, 40050, 40075, 40100, 40125, 40150, 40175, 40200, 40225, 40250, 40275, 40300, 40325, 40350, 40375, 40400, 40425, 40450, 40475, 40500, 40525, 40550, 40575, 40600, 40625, 40650, 40675, 40700, 4

III.2. Animais

concentrações: 50, 100, 150, 250 e 500 mg/L. Foi calculado um coeficiente de correlação (R^2), resultando $R^2 = 0,9978$ ao nível de significância de 5%. O teor de polifenóis totais foi expresso em mg equivalente de Ácido Gallico (EAG)/L.

Todas as experiências foram aprovadas pelo Comitê de Ética no Uso de Animais da Universidade Federal do Rio de Janeiro.

(CEUA/001/2016).

Os animais foram mantidos, a temperatura de 20° - 25°C, mantendo o ciclo de claro/escuro de 12h, além de água ad libitum e eram oferecidos a todos os grupos 300g de ração. O consumo de água e ração era mensurado 3 vezes/semana.

Aos 3 meses de idade, os animais foram divididos em 6 grupos. Ao completarem 6 meses de idade foram submetidos ao teste de comportamento labirinto aquático de Morris e posteriormente denominados, conforme apresentado abaixo:

Grupo ASEt - 10 camundongos C57Bl/6 que receberam 300 mg/kg/dia de ASE via aguia de beber após 11 meses de idade;

Grupo ASEp - 10 camundongos C57Bl/6 que receberam 300 mg/kg/dia de ASE via aguia de beber, a partir 6 meses de idade;

Grupo controle (C) - 10 camundongos C57Bl/6 que receberam apenas água ad libitum e ração comercial comum;

A dieta de cafeteria tem como base a ração comercial supracitada e ainda chocolate ao leite, amendoim e biscoito de maïzena, na proporção 3:2:1), contendo um valor calórico de aproximadamente 47710 kcal/kg (ver tabela 4) (MONTEIRO TERRA et al., 2017). Os ingredientes eram triturados e

Nutrientes	Referência (%)	Proteínas	Carboidratos	Gorduras	Energia Bruta (kcal/kg)
	22,0				
	45,5				
	4,0				
	3060				

Tabela 3. Tabela nutricional da composição química da ração comercial para animais de laboratório Nuvilab CR-1® da empresa Quimtia utilizada para este experimento (NUVILAB, 2017).

animais que consumiam dieta de cafeteria. Em relação à dieta, os animais controle consumiam ração comercial para animais de laboratório Nuvilab CR-1® da empresa Quimtia (ver tabela 3) e foi iniciado o tratamento com 300 mg/kg/dia de ASE por 4 semanas.

III. 3 Dieta

Grupo HC + ASEt - 10 camundongos C57Bl que foram tratados com dieta hipercalórica até o desenvolvimento da RI. Após esse período (aos 11 meses) foi iniciado o tratamento com 300 mg/kg/dia de ASE por 4 semanas.

Grupo HC + ASEp - 10 camundongos C57Bl que foram tratados com dieta hipercalórica e 300 mg/kg/dia de ASE via aguia de beber, a partir dos 6 meses de idade;

resistência insulínica (RI); hipercalórica a partir de 6 meses de idade, até o desenvolvimento da resistência insulínica (RI);

teste memônico.

GOPro Hero+. O teste é dividido em duas fases: fase de aquisição e fase de min. Os testes realizados por cada animal foram filmados, utilizando para isso para a localização da plataforma. O tempo de duração do ensaio é de até 2 marcadores nas paredes da sala, para que pudesse servir de parâmetros já visível durante o experimento. Foi incluídos também alguns brancos foi utilizada para deixar a água opaca de modo que a plataforma não de altura, com capacidade para 318 L de água. Uma tinta queache atóxica camundongos são colocados em um tanque de 900mm de diâmetro e 500mm latêncial medida em segundos para encontrar uma plataforma submersa. Os no labirinto aquático de Morris (MORRIS et al., 1982) é avaliada a

III.4 Labirinto Aquático de Morris (LAM)

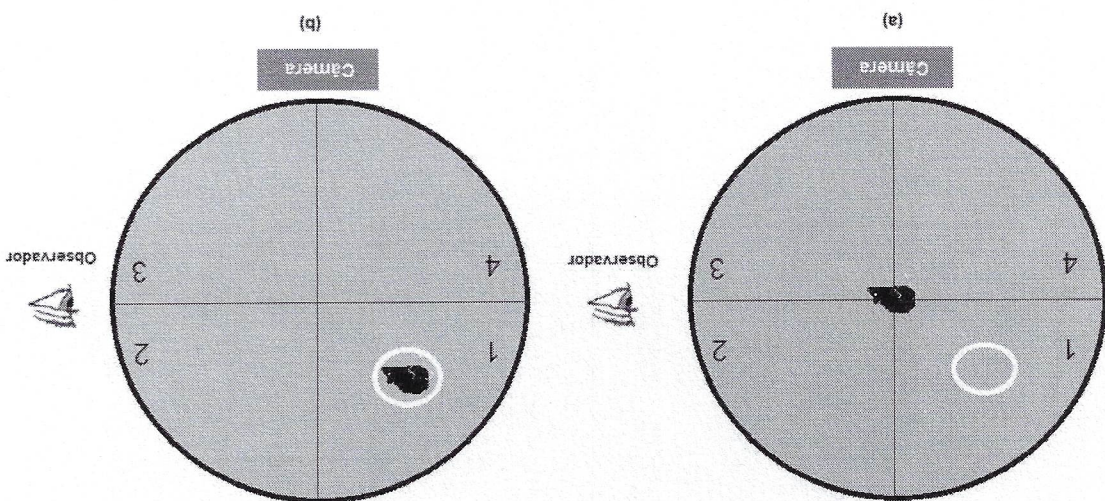
Aragão hipercaleêmica foi administrada para os grupos HC; HC + ASEp e HC + ASEt dos 6 aos 9 meses de idade até a estagão da RI. Para auxiliar na indução da resistência insulínica foi administrado na água de beber dos animais glicose a 2% por 1 mês (entre 8 e 9 meses de idade).

Nutrientes	Referência (%)	Energia Bruta (Kcal/kg)
Proteínas	16,6	47710
Carboídratos	45,2	
Gorduras	25,5	

Tabela 4. Tabela nutricional da aragão hipercaleêmica (HC) que teve como base a aragão Nutrilab CR-1® da empresa Quimitta

misturados com um pouco de água (o suficiente para umedecer e dar forma) e depois eram deixados em uma estufa para secar.

Figura 5. Representação gráfica do Labirinto Aquático de Morris (LAM) e seus quadrantes discriminados por numerá-los no início do teste (a) o camundongo é colocado no centro da piscina, na intersecção das linhas imaginárias. O objetivo do teste (b) é que o animal, através da natação encontrada uma plataforma submersa que não era visível devido a adição de tintas queache aloxicá branca, como representado na figura. O círculo de bordas brancas representa a plataforma submersa. Na imagem estão representadas também a posição do experimentador e da câmera.



A fase de teste memônico acometeia no 5º dia da experiência, na qual a plataforma era retirada do quadrante 1 e o camundongo era inserido no tanque nas mesmas condições que a fase anterior. O experimento foi realizado 2 vezes em dois tempos de 2 min cada um, tendo como objetivo que o animal procurasse a plataforma mesmo sem a presença desta.

Na fase de aquisição, os roedores receberam sessões diárias de treino durante 5 vezes/dia durante 4 dias para encotrar a plataforma submersa e escondida pela coloração da água. A plataforma ficava no centro do quadrante 1 do tanque, como é demonstrado na figura 5 e não teve alteração da sua posição no decorrer dos 4 dias. Durante todo o teste de comportamento foi avaliado se os animais estavam aptos para a natação e, aquelas que não estavam eram excluídos da pesquisa. O experimento iniciava quando o camundongo era colocado gentilmente no meio do tanque, com o focinho do animal virado para qualquer uma das quatro plataformas (Figura 5).

alimentação hipercaótica.

em diferentes tempos: 0, 15, 30, 45, 60 e 120 minutos, após 3 meses de glicemia plasmática após a administração, por gavagem, de glicose a 2mg/kg A tolerância à glicose também foi avaliada através da análise da

III.5.2 Análise da glicose plasmática e da tolerância à glicose

Chek® (Roche).

incisão na cauda do animal e mensurada através do glucômetro digital Accu-jejun por 6h e uma gota de sangue era obtido através de uma peduna 5 meses de idade até o dia da eutanásia, na qual os animais foram mantidos A determinação da glicemia era realizada uma vez por mês, a partir dos

III.5.1 Determinação da glicemia em jejum

III.5 Análises bioquímicas

sofrem eutanásia.

teste de comportamento aos 12 meses de idade e, ao final desse também animais controle e tratamento (ASEt e HF+ASEt), tiveram mais um terceiro participaram do grupo preventivo (ASEP e HF+ASEP) foram eutanasiados e os durante os 6 e 11 meses, onde ao final do segundo teste, os animais que Todos os grupos foram submetidos a esse teste de comportamento

roedores permaneciam em cada quadrante.

contra o tempo total do experimento e o tempo (cronometrado) em que os tandem foi dividida em quatro quadrantes imaginários (Figura 5) e foi levado em finalizado dos experimentos os vídeos foram avaliados e a superfície do O hiato entre um treino e outro era de 15 a 20 minutos. Após a

III.6 Análise estatística

Todos os resultados do teste de comportamento e das análises biolumínicas foram apresentados pela média \pm EPM, através do programa GraphPad Prism 6.0. A variância foi mensurada pelo teste Two-Way ANOVA e posteriormente a diferença entre os grupos foram analisadas pelo teste de Bonferroni ou o teste *t*-Student não parado. Foram considerados estatisticamente significativos valores de $p < 0,05$.

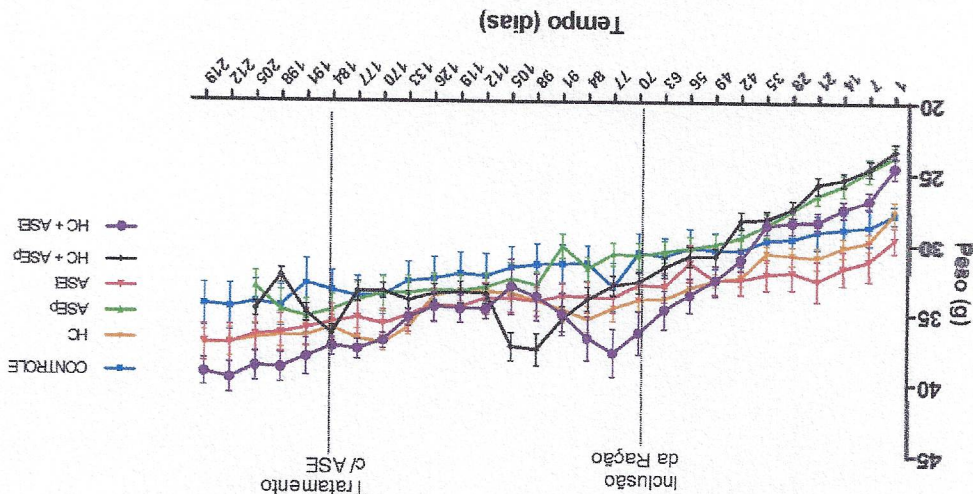
meses de idade (quadro 2).

ASEP e HC + ASEP não apresentaram diferença significativa entre 11 e 12 meses de idade (quadro 2).
Além de acompanhar o peso dos animais por tempo de tratamento, peso, principalmente após a introdução da dieta hipercalórica, porém animais induzido da obesidade. Como resultado, verificamos um aumento expressivo no consumo de ração hipercalórica em diferentes idades, a fim de acompanhar a realizou-se também uma comparação com o consumo de ração comercial e o consumo de ração hipercalórica com o consumo de ração comercial e o

medio.

ASET após a administração da dieta HC. Os valores representam a média ± o erro padrão da com ASE (ASE). O gráfico indica um aumento de peso para os grupos HC + ASEP e HC + tracessadas marcam o início do tratamento com a dieta hipercalórica e o início do tratamento com ASE (ASE). O gráfico indica um aumento de peso para os grupos HC + ASEP e HC +

Figura 6. Gráfico representativo do peso dos animais por tempo de tratamento. As linhas



A partir dos 5 meses de idade, os animais tiveram seu peso acompanhado uma vez por semana a fim de avaliar os efeitos da administração de dieta hipercalórica e do tratamento com o ASE (Figura 6).
Acompanhado uma vez por semana a fim de avaliar os efeitos da administração de dieta hipercalórica e do tratamento com o ASE (Figura 6).

IV.1 Acompanhamento do peso dos animais

IV. RESULTADOS

A tolerância à glicose foi mensurada nos diferentes grupos quando estavam com a idade de 11 meses, antes de iniciar o tratamento com o ASE. A dieta hipercaótica foi capaz de promover redução significativa ($p < 0,05$) na tolerância à glicose no grupo HC e HC+ASEt em relação aos grupos Controle, ASEt e ASE. No entanto, o grupo que recebeu dieta hipercaótica e ASE de ASEp e ASEt não houve redução da tolerância (Figura 7).

IV. 2 Análise da Tolerância à glicose

Valores representaram a média e desvio padrão das médias (\pm SEM).
 (a) Diferença significativa ($p<0,05$) em relação aos grupos Controle, ASEI e HC + ASEP
 (b) Diferença significativa ($p<0,05$) em relação aos grupos Controle, ASEI e HC + ASEP

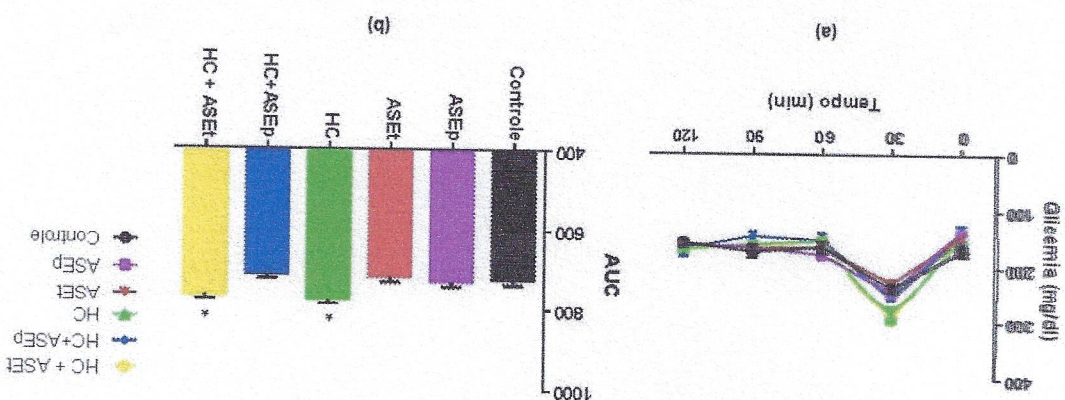
meses	Control	ASEP	ASET	HC	HC + ASE ^b	HC + ASE ^a
6 meses	29,74±3,23	26,48±1,88	30,32±2,71	32,6±3,86	25,79±1,77	27,63±2,83
11 meses	30,04±4,47	34,15±3,73	35,73±2,99	35,39±3,16	33,52±2,00	36,39±4,15
12 meses	35,91±5,56	33,19±3,17	35,73±3,35	36,6±3,38	34,80±1,45	37,80±4,18
6 meses	25,84±2,12	31,61±5,77	35,48±1,90	27,57±1,40	30,58±6,42	43,24±13,26
11 meses	28,17±2,47	40,08±4,70 ^a	31,08±2,75	36,08±3,16 ^a	31,19±3,42	36,77±5,95
12 meses	24,9±0,31	40,88±5,29 ^{a,b}	34,14±6,49	40,51±3,74 ^a	33,11±2,46	36,97±1,07

Quando Z. Peso (g) dos camundongos C57Bl/6 e o consumo de ração (g/dia) valido em diferentes idades.

Ao final do experimento os níveis de glicose foram avaliados. Observamos um aumento significativo ($p<0,05$) dos níveis glicêmicos para os animais tratados que receberam dieta hipercalorica em relação aos demais grupos. Entretanto, esse aumento não foi observado nos grupos HC + ASEp, HC + ASEt, demostmando que o ASE foi capaz de prevenir e reduzir os níveis glicêmicos dos animais que receberam dieta hipercalorica (Figura 8).

IV.3 Efeito do ASE sobre a glicemia

Figura 7. Teste de tolerância a glicose dos diferentes grupos experimentais aos 10 meses de idade. Em (a) curva glicêmica obtida dos diferentes grupos. Em (b) a área sob a curva (AUC) obtida a partir das curvas glicêmicas. Os valores representam a média ± o erro padrado da média. (*) Diferença significativa ($p<0,05$) entre o grupo HC em relação aos grupos Controle, ASEp, ASEt e HC+ASEp.

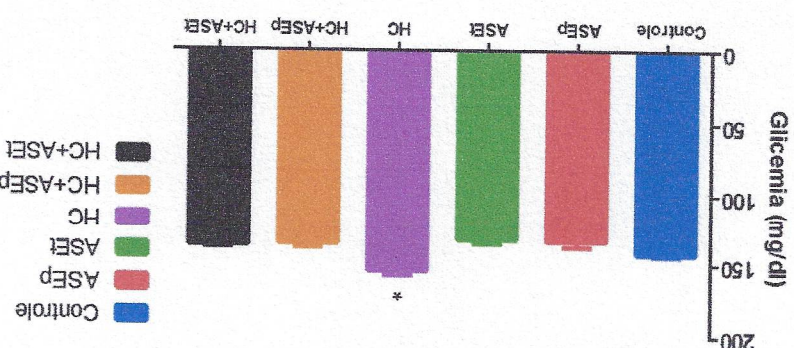


No teste de Morris, cada quadrante tem o tempo médio contabilizado para a avaliação da memória espacial aprendizado, como demonstra a figura 10. O quadrante 1 (Q1) é aquele onde se encontra a plataforma escocida e por isso está destacado com a cor cinza. Ainda na figura 9, observamos o tempo médio de cada grupo no primeiro dia (T1, em azul) e no quinto dia (T5, em vermelho), que correspondem às fases de treino e fase mnemônica, respetivamente, nas idades de 6 meses (6m), 11 meses (11m) e 12 meses (12m).

Observamos que todos os animais aos 6m permaneceram mais tempo no Q1 no período de fase mnemônica (T5). No entanto, quando observamos os grupos Controle, ASEt, e HC+ASEt, observamos uma redução progressiva na capacidade de memorização dos animais à medida que a idade dos animais avançava. Já os grupo HC e HC+ASEt essa redução na capacidade mnemônica

IV.4 Desempenho dos camundongos C57Bl/6 nos quadrantes do teste de Labirinto Aquático de Morris (LAM)

Figura 6. Efeito do ASE sobre a glicemia dos camundongos C57Bl/6. Os resultados que os ratos submetidos à dieta hipercalórica (HC) obtiveram um aumento significativo da taxa glicêmica e que o ASE foi capaz de prevenir e reduzir os níveis glicêmicos. Os valores representam a média ± o erro padrão da média. (*) Diferença significativa ($p < 0,05$) entre o grupo HC e os demais grupos.



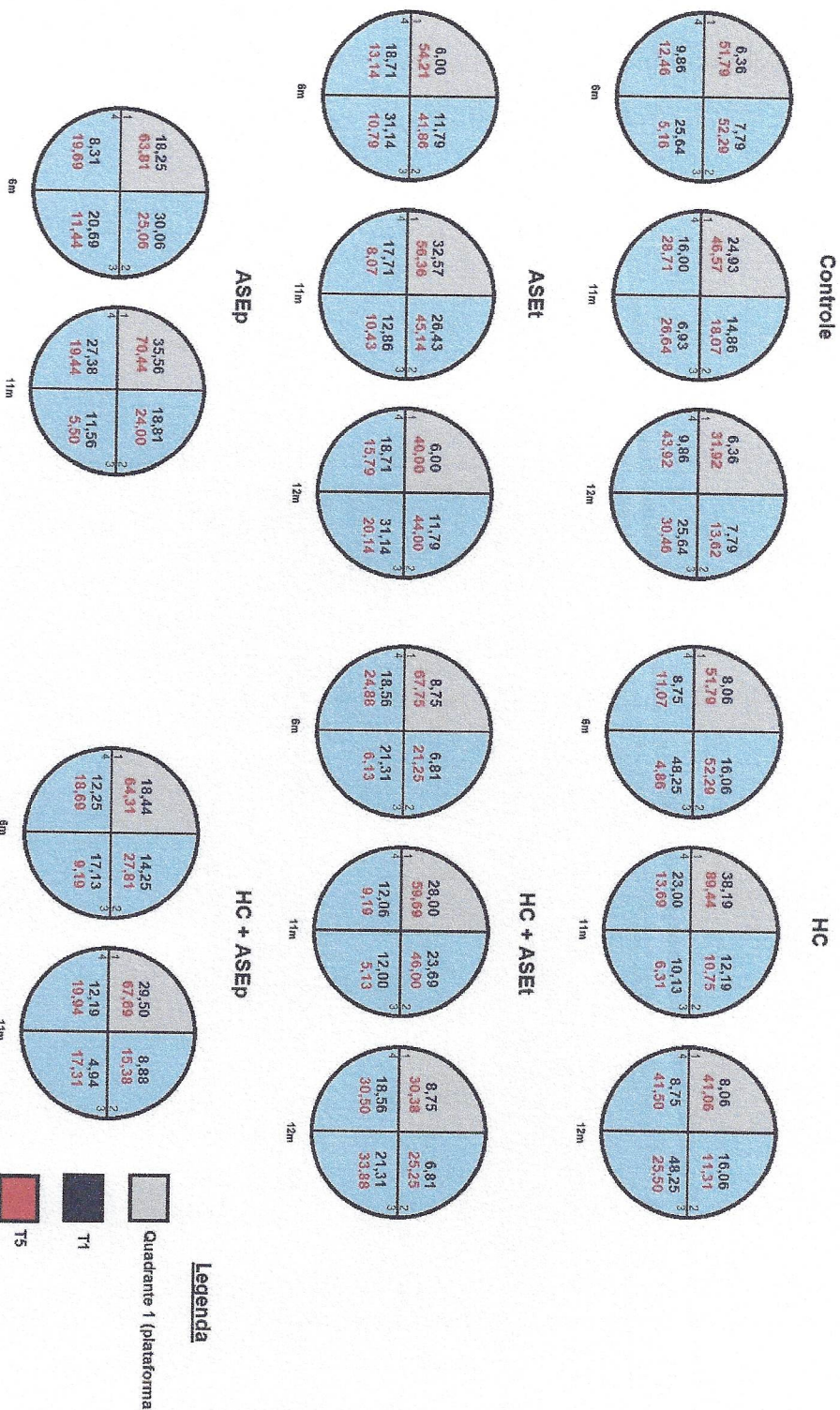
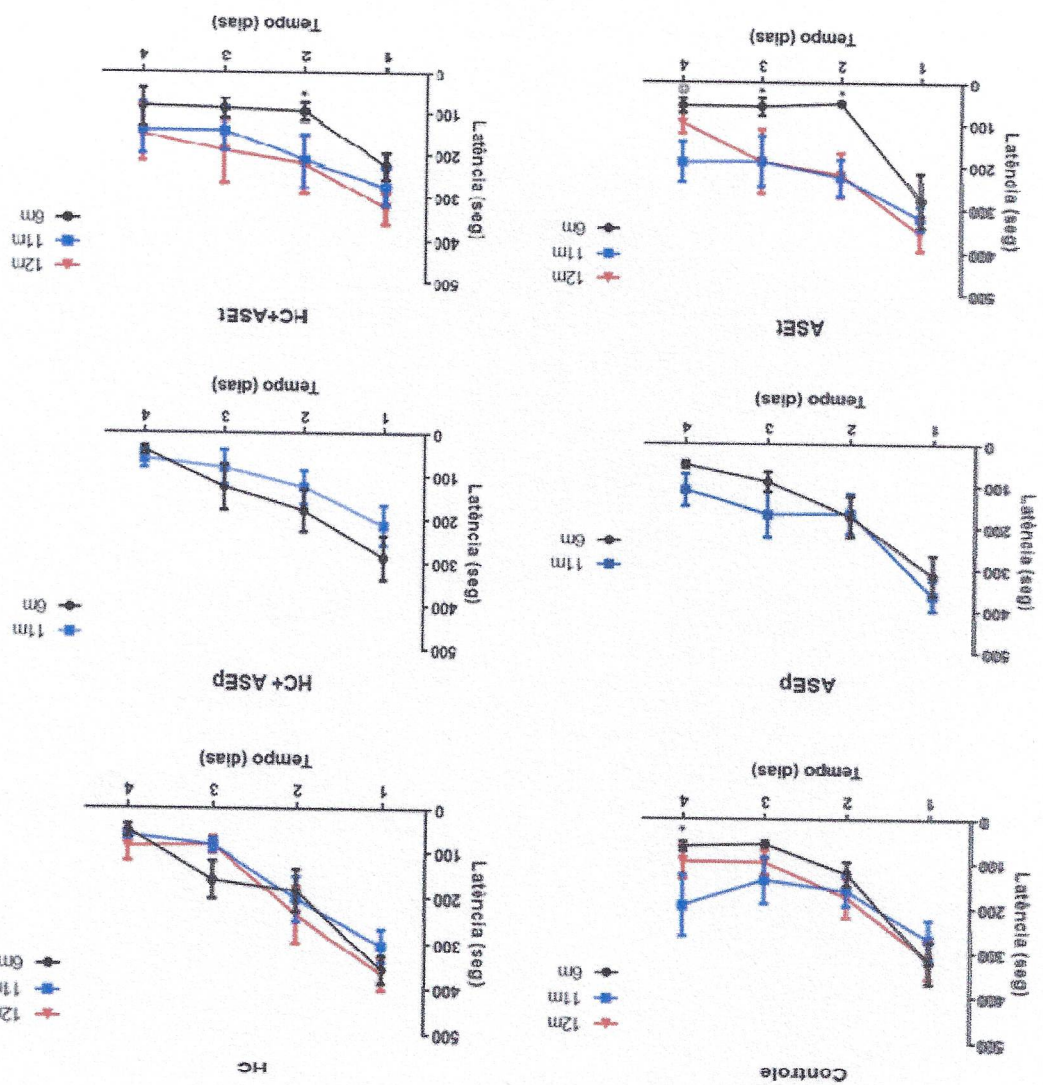


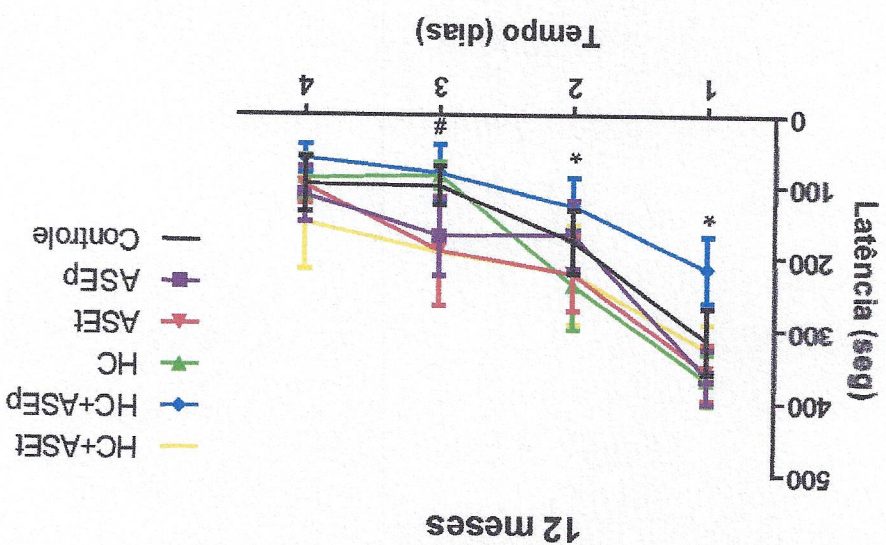
Figura 9. Avaliação do tempo médio (em segundos) das fases de treino (T1) e mnêmônica (T5) do labirinto aquático de Morris em cada quadrante em diferentes idades. Além do tempo de latência, o tempo médio em cada quadrante é contabilizado para a avaliação da aprendizagem. A média do primeiro dia de teste (em azul) representa a fase de treino no qual o camundongo aprende a localizar a plataforma. A média do quinto dia de teste (em vermelho) representa a fase mnêmônica na qual o camundongo deve lembrar-se da localização da plataforma. O quadrante em que se encontra a plataforma foi denominado quadrante 1 (Q1). Para este resultado foi realizado a média feita pelo teste ANOVA.

Figura 10. Avaliação do tempo de latência de cada grupo no Labirinto Aquático de Morris e de acordo com a idade. Quando o desempenho dos camundongos é visto separadamente verificamos a influência da idade no decorrer dos 4 dias de teste. Os graficos demonstram que a idade não influencia a performance uma vez que todos os grupos apresentaram redução do tempo de latência para todos os dias de teste. Os graficos demonstram que a idade não influencia a performance uma vez que todos os grupos apresentaram redução do tempo de latência para todos os dias de teste. Os graficos demonstram que a idade não influencia a performance uma vez que todos os grupos apresentaram redução do tempo de latência para todos os dias de teste. Os graficos demonstram que a idade não influencia a performance uma vez que todos os grupos apresentaram redução do tempo de latência para todos os dias de teste.



Os dados observados nos quadrantes são corroborados na figura 10. Ao observarmos o grupo Controle verificamos uma redução na capacidade de memorização dos animais aos 11 meses. O mesmo é observado no grupo ASEt.

Figura 11. Avaliação do tempo de latência dos animais em Labirinto Aquático de Morris
 dos 12 meses de idade. Os resultados dos grupos ASEp e HC+ASEp foram obtidos aos 11 meses de idade. Os valores representam a média ± o erro padrão da média. (*) Diferença significativa ($p<0,05$) entre HC + ASEp e os demais grupos. (##) Diferença significativa entre os grupos ($p<0,05$).



Quando observamos a capacidade de memória dos diferentes grupos ao final do experimento 12 meses, o grupo que recebeu a dieta hipercalorica e o ASE preventivamente (HC+ASEp) apresentaram maior capacidade de aprendizado/memória ($p<0,05$) que os grupos HC e ASEt nos tempos T1 e T2. E no tempo T3 a latência foi significativamente ($p<0,05$) menor que a do grupo ASEt.

Modelos de obesidade induzidas por dieta hipercalorica são importantes para a indução de diabétés mellitus, resistência insulinica e inflamações sistémicas. Atualmente há uma infinidade de pesquisas que visam estabelecer um modelo de obesidade que seja eficiente, de baixo custo, alta reproduzibilidade e que mimeizam as características observadas em humanos (WHITE et al., 2013; FREITAS et al., 2014).

A grande maioria das pesquisas com ASE foram realizadas com animais muito jovens, com um a três meses de idade, em média. Como o dano cognitivo normalmente está associado à idade, nosso estudo visou justamente avaliar a agção do agal em camundongos idosos, associando com a redução da tolerância a glicose. Nos animais submetidos apenas à dieta hipercalorica (HC), verificamos o aumento significativo dos níveis séricos de glicemia e da tolerância a glicose. Nos animais submetidos após a dieta hipercalorica a glicose. O ASE foi capaz de prevenir e reduzir a glicemia de dia contra a exposição a proteínas B-amiloidé.

Estudos anteriores demonstraram que o ASE tem agção promotora na síntese do NO (ROCHA et al., 2008), além de atuar na redução da síndrome metabólica e a atividade hipoglicemiante, principalmente referentes à RI (DE OLIVEIRA, 2010; DE OLIVEIRA 2015), além da ação antinociceptiva que embora os mecanismos não sejam totalmente compreendidos, já é conhecido o seu efeito central (SUDO et al., 2015; CAREY et al., 2015; WONG et al., 2013). E ainda encontramos na literatura, pesquisas realizadas com outras partes do fruto além da semente que demonstraram resultados promissores, como o de desempenho no teste de labirinto aquático de Morris em ratos submetidos a suplementação de agal na dieta o de Wong et al., 2013 que utilizou a baga para averiguar a proteção in vitro de células de feocromocitoma de ratos contra a exposição a proteínas B-amiloidé.

V. DISCUSSÃO

um aumento na tolerância à glicose nos grupos HC, mas o mesmo não foi visto após três meses do início da alimentação hipercalorica foi constatado

os animais que receberam dieta hipercalorica apenes. Siginificativa o aumento no consumo aos 11 e 12 meses de idade, assim como que os animais que receberam ASE preventivamente aumentaram de forma peso dos animais. Ao comparar o consumo desses animais é possível observar do inicio da dieta hipercalorica não foi verificado um aumento significativo no manejo com os animais. Através dos resultados observados que após um mês ASEp; HC + ASEt . Esses parâmetros foram observados ate o ultimo dia do comporamento foi iniciado o uso da dieta hipercalorica nos animais HC; HC + ingesta de ração uma vez por semana e, após o primeiro teste de de idade iniciou-se o acompanhamento do peso dos animais e o consumo da de idade induzir essas condições nos camundongos C57Bl/6 aos 5 meses

(MOLTENI, 2002).

expressão do fator neurotrofico derivado do cérebro (BDNF) no hipocampo provocando diversos danos, inclusive na memória e a diminuição na 2015) que consequentemente aumenta o estresse oxidativo (SUBASH et al, EROS que tem relação com a peroxidação lipídica que induz a formação de (MDA) que tem relação com a peroxidação lipídica que induz a malondialdeído na plasticidade cerebral, uma vez que aumenta os níveis de malondialdeído de acordo com Park (2010) dietas ricas em lipídios podem causar danos

hepática dentro outras desordens metabólicas (THAMASHIRI et al, 2015). Como comprometimento na plasticidade neural de camundongos C57Bl/6, integridade sinaptica e cognição (KHOZHARI et al, 2017). Ela limita os danos da dieta ocidental consumida por seres humanos e, a longo prazo podem desencadear resistência insulínica, diabetes, hiperlipidemia, esterose e doenças degenerativas (SANTOS et al, 2017; DE BEM et al, 2017), bem como comprometimento na plasticidade neural de camundongos C57Bl/6, (DE OLIVEIRA et al, 2015; SANTOS et al, 2017; DE BEM et al, 2017), DE OLIVEIRA et al, 2015), além de outras doenças como a esterose hepática resistência insulínica em camundongos C57Bl/6 (DE OLIVEIRA et al, 2010; DE OLIVEIRA et al, 2015), A dieta hipercalorica é um protocolo bem conhecido para se induzir

através da comparação entre essas variáveis, são observados alguns padões no comportamento de acordo com a idade dos animais. Ao 6 meses, os animais exploram mais os quatro quadrantes nas fases de treino do LAM (T1 a T4) e encotram a plataforma em menor tempo; na fase memória (T5) todos os grupos restringem o campo de exploração apenas aos quadrantes 1 e

(DHOOGE; DE DEYN, 2001; KANDEL, 2013; MORRIS, 1982). O teste do Labirinto Aquático de Morris é amplamente utilizado para pesquisas em neurociências devendo a sua eficácia em utilizar a memória espacial e a neuroplastичidade para aprender a localizar a plataforma sinializadores localizados na sala de experimento. Neste teste analisamos duas variáveis: o tempo de latência, e o tempo médio em cada quadrante, oposito a este, representados neste estudo por Q1 e Q3, respectivamente. principialmente o quadrante que se encontra a plataforma e o quadrante oposto a este, representados neste estudo por Q1 e Q3, respectivamente. Através da comparação entre essas variáveis, são observados alguns padões no comportamento de acordo com a idade dos animais. Ao 6 meses,

O teste do Labirinto Aquático de Morris é amplamente utilizado para reduzido no LAM (CORDNER et al.; TAMASHIRO et al., 2015). Sobre a glicemia, KHOTARI et al., 2017 estabeleceu uma relação entre níveis de insulina periférica e as alterações na sinialização de insulina cerebral em camundongos C57Bl/6, medida por uma redução significativa nos receptores IRS-1 que estão envolvidas na regulação do crescimento neuronal e na plasticidade sinaptica, na qual o prejuízo destas via desencadearam o declínio das funções cognitivas dos camundongos. Além disso, estudos anteriores têm referido que alterações nos receptores (IRS-1 e IRS-2) aumentam o estresse oxidativo e formação dos agregados proteicos do hipocampo, favorecendo o desenvolvimento de Alzheimer (LOURENCO et al., 2013; e DE FELICE et al., 2015). Por este motivo era esperado que os animais hipercalóricos tivessem o desempenho prejudicado no teste de memória, uma vez que animais submetidos à dieta hipercalorica produzem desempenho 2013; e DE FELICE et al., 2015). Por este motivo era esperado que os animais hipercalóricos tivessem o desempenho prejudicado no teste de memória, uma vez que animais submetidos à dieta hipercalorica produzem desempenho reduzido no LAM (CORDNER et al.; TAMASHIRO et al., 2015).

no grupo que recebeu ASE preventivamente. Ao se observar a tolerância a glicose a dieta especial fosse interrompida e o tratamento com ASE foi iniciado.

estação visual porém não consegue lembrar a localização da plataforma memantina, por exemplo), o animal consegue encontrar a plataforma caso ela intrahipocampal por meio de um antagonista farmacológico (como a camundongos tenham esses receptores estéjam bloqueados via injecção-estão intimamente ligadas aos receptores de NMDA, uma vez mesmo que os Segundo Kandell (2013), as agões realizadas através do teste de LAM

danos tendem a ser exacerbados (KANDELL, 2013; STAHL, 2014).
resistência insulínica, hipertermia ou doenças neurodegenerativas, esses desordens metabólicas desencadeadas no envelhecimento patológico, como diabetes, e da memória espacial. Se com a progressão da idade o indivíduo apresentar incluem a diminuição das sinapses, redução da cognição, da neuropatididade eventos que incluem a redução do tônus muscular e alterações no SNC que físicos, cognitivos e comportamentais mediados por uma diversidade de memória espacial (KANDELL, 2013). O envelhecimento fisiológico causa déficits facilitando assim a sua capacidade exploratória, a plasticidade cerebral e a capacidade de locomoção e ainda as funções cerebrais estão preservadas, 2001). Camundongos jovens têm mais tônus muscular que favorece a comportamento é influenciado pela idade do animal (D'HOOGHE; de DEYN, Dados da literatura consideram que a performance desses teste de

desse fase, em T5 apresentaram tempos médios variáveis entre os quadrantes. uma redução progressiva e discreta do tempo de latência durante os 4 dias exploram menos os quatro quadrantes na fase de treino, todavia apresentaram permanecer na plataforma submersa. Aos 12 meses, todos os animais de tratamento. Os animais ASEp, ASET e HC + ASET apesar de apresentar resultados anteriores, quando eram mais jovens e não recebiam nenhum tipo de controle, HC + ASEp tiveram tempos de latência ainda menores que os resultados, neste ídade, o tempo de latência variava para cada grupo. Os animais em T5, neste ídade, o tempo de latência variava para cada grupo. Os animais ASE (11 meses) constatamos que a capacidade de explorar da área de teste é reduzida apenas ao primeiro quadrante (Q1), tanto em T1 a T4 quanto

envolhimento dos animais. Comparando esses resultados encontrados no LAM com os obtidos na camundongos C57Bl/6, com a mudança para a dieta comum. Sendo assim a duração da dieta hipercalórica é importante para evitar a reversão da RI em mais tempo de consumo. Em seu estudo, Hatzidis et al. (2017) indicam que a dieta hipercalórica, mesmo com altas taxas de lipídeos e açúcares não foi tão suficiente para induzir danos patológicos na memória, precisando assim de observarmos que apesar das altas taxas glicêmicas e da tolerância à glicose a glicemia e considerando que os animais desenvolveram a obesidade, .

ASEe capaz de prevenir a perda cognitiva. Observou-se que os animais desenvolveram a terapia preventiva com ASE permanecendo significativo no terceiro dia de teste (T3). Essa característica pode ser constatada ao observar o tempo médio em cada quadrante no primeiro (T1) e quinto dia (T5) de teste. Esses resultados presuem que o também serem significativos ao grupo tratado (ASE + HC + ASE). Esse desempenho em comparação ao grupo tratado (ASE e HC + ASE). Esse desempenho (HC + ASE) apresentaram desempenho significativo nos T1 e T2 da latênciase. Observou-se que os animais que tiveram a terapia preventiva com ASE A exceção para esta característica tem a ver com a administrada de

mais quadrantes. Por este motivo ao observar os tempos de latênciase a média dos quadrantes aos 12 meses de idade podem concluir que na fase de treino (T1 a T4) os animais perderam a capacidade de consolidar a memória e, encontraram a plataforma submersa ao acaso. Este fato é comprovado estesjam envolvidos na consolidação da memória espacial, entretanto se o animal já aprendeu a tarefa, o bloqueio dos receptores de NMDA não impedem que ele utilize memórias antigas.

escocida, sugerindo que possivelmente esses receptores supracitados estejam envolvidos na consolidação da memória espacial, entretanto se o animal já aprendeu a tarefa, o bloqueio dos receptores de NMDA não impedem que ele utilize memórias antigas.

Em sua pesquisa, PINI *et al.*, (2016), detectou que os camundongos tratados com dietas hipercaloricas e de cafeteria apresentaram níveis menores de ansiedade no teste de Labirinto em Cruz Elevada. Assim, a redução de ansiedade pode ter contribuído para o bom desempenho dos animais que consumiram dieta hipercalorica.

- O ASE foi capaz de prevenir o aumento da tolerância à glicose em camundongos C57Bl/6 idosos que já apresentavam deficit de memória.
- O tratamento com ASE não promoveu ganho cognitivo em camundongos C57Bl/6 idosos que já apresentavam deficit de memória.
- A terapia preventiva com ASE promoveu uma resposta positiva na manutenção da capacidade cognitiva dos camundongos C57Bl/6 idosos;
- A idade avançada promoveu um dano cognitivo e na memória nos grupos controle e ASET, no entanto, a dieta hipercalórica não foi capaz de intensificar esse dano;
- O ASE foi capaz de reduzir os valores glicêmicos após o estabelecimento da tolerância a glicose em camundongos C57Bl/6 idosos submetidos à dieta hipercalórica;
- O ASE foi capaz de prevenir o aumento da tolerância à glicose em camundongos C57Bl/6 idosos submetidos a uma dieta hipercalórica;

VI. CONCLUSÃO

BARANKEVICZ, Gizele Bruna. Poder antioxidante da curcuma (Curcuma longa L.) nos percepções neuropsíquicos em ratos induzidos a depressão. 2015. Tese de Doutorado. Universidade de São Paulo.

BALICK, M.J. The palm-tree of life: biology, utilization and conservation. New York: 1986. 42-49

ANGELO, Priscilla Milene; JORGE, Neuza. Compostos fenólicos em alimentos - Uma breve revisão. Revista do Instituto Adolfo Lutz, São José do Rio Preto, v. 1, n. 66, p. 1-9, 2007.

ANDRADE, A. et al, orgs. Animais de Laboratório: criagão e experimentação. Rio de Janeiro: Editora FIOCRUZ, 2002. 388 p. ISBN: 85-7541-015-6.

Disponível em: <https://static.scielo.org/scielobooks/swf/pdf/andrade-9788575413869.pdf>.
Acesso em 10/11/2017. Available from Scielo Books .

ALVES, A.C.S. et al. Aspectos botânicos, químicos, farmacológicos e terapêuticos do Hypericum perforatum L. Revista Brasileira de Plantas Medicinais, [s.l.], v. 16, n. 3, p.593-606, set. 2014. FapUNIFESP (Scielo).
http://dx.doi.org/10.1590/1983-084x/12_149.

ALEZANDRO, Marcela Rondoni; GRANATO, Daniel; GENOVESE, Maria Inês. Diabétic rats. Food research international, v. 54, n. 1, p. 650-659, 2013.
improves plasma lipid profile in streptozotocin-mediated oxidative stress in jaboticaba (*Myciaria jaboticaba* (Vell.) Berg), a Brazilian grape-like fruit, ABRASZ - Associação Brasileira de Alzheimer (Org.). A cada três segundos um idoso é diagnosticado com algum tipo de demência no mundo. 2016.
Disponível em: <<http://www.abraz.org.br/node/760#>>. Acesso em: 01 nov. 2017.

VII. BIBLIOGRAFIA

- BEAR, Mark F. et al. **Neurociências: desvendando o sistema nervoso**. 2. ed. Porto Alegre: Artmed, 2002. 878 p. Traduzão de Quillfeldt et al. ISBN: 85-7307-911-8.
- BENEDICT, C. Intranasal insulin improves memory in humans. *Psychoneuroendocrinology*, Lübeck, v. 29, n. 10, p.1326-1334, nov. 2004. Elsevier BV. <http://dx.doi.org/10.1016/j.psyneuen.2004.04.003>.
- BORGHT, Karin van Der et al. Reduced neurogenesis in the rat hippocampus following high glucose consumption. *Regulatory Peptides*, Sweden, v. 167, n. 1, p.26-30, fev. 2011. Elsevier BV. <http://dx.doi.org/10.1016/j.regpep.2010.11.002>.
- BRAAK, Heiko; TREDIGI, Kelly del. Where, when, and in what form does sporadic Alzheimer's disease begin? *Current Opinion in Neurology*, Uim, Alemanha, v. 25, n. 6, p.708-714, dez. 2012. Oxford Technologies (Wolters Kluwer Health). <http://dx.doi.org/10.1097/WCO.0b013e32835a3432>.
- BRAZIL, Alodia et al. Diet enriched with the Amazon fruit agai (Euterpe oleacea) prevents electrophysiological deficits and oxidative stress induced by methyl-mercury in the rat retina. *Nutritional Neuroscience*, Belém, v. 20, n. 5, p.265-272, jan. 2016. Informa UK Limited. <http://dx.doi.org/10.1080/1028415X.2015.1119378>.
- BRIGHTEFOCUS FOUNDATION. BrightFocus Foundation. **Alzheimer's disease** [em: Foundation. 2015. Illustration by Bob Moreale, courtesy of the BrightFocus Foundation. Disponible en: <<http://www.brightfocus.org/alzheimers/infographic/progression-alzheimers-disease>>. Acceso em: 06 nov. 2017.]

- BROOKMEYER, Ron et al. Forecasting the global burden of Alzheimer's disease. *Alzheimer's & Dementia*, Baltimore, MD, v. 3, n. 3, p.186-191, jul. 2007. Elsevier BV. <<http://dx.doi.org/10.1016/j.jalz.2007.04.381>>.
- BRUTON, L.L. Goodman & Gilman. *As Bases da Farmacologia Terapêutica*. 12ed. SP: McGraw-Hill, 2015.
- CAVALCANTE, P. *Frutas cosméticas da Amazônia*. Belém: CEJUP, 271 p.
- CALZAVARA, B.B.G. As possibilidades do agaizéiro no estuário amazônico. Belém: FCAU, 103p. 1972
- CARAMELLI, Paula; BARBOSA, Maria Tonidandell. Como diagnosticar as quatro causas. Como diagnosticar as quatro causas mais frequentes de demência? mais frequentes de demência? *Revista Brasileira de Psiquiatria*, São Paulo, v. 1, n. 24, p.7-10, 2002.
- CAREY, Amanda N. et al. Dietary supplementation with the polyphenol-rich agar pulp (Euterpe oleacea Mart. and Euterpe precatoria Mart.) improves cognition in aged rats and attenuates inflammatory signaling in BV-2 microglial cells. *Nutritional Neuroscience*, Boston, v. 20, n. 4, p.238-245, 30 nov. 2015.
- CARVALHEIRA, José B.C.; SAAD, Mario J.A.. Doenças associadas à resistência à insulina/hiperinsulinemia, não incluídas na síndrome metabólica. *Arquivos Brasileiros de Endocrinologia & Metabologia*, São Paulo, v. 50, n. 2, p.360-367, abr. 2006. FapUNIFESP (SCIELO). <<http://dx.doi.org/10.1590/S0004-27302006000200022>>.
- CASADESUS G, SHUKITT-HALE B, STELLWAGEN H.M, et al. Modulation of hippocampal plasticity and cognitive behavior by short-term blueberry supplementation in aged rats. *Nutr Neurosci*, v. 7, p.309-316, 2004.

- CESARETTI, Mario Luis Ribeiro; KOHLMANN JUNIOR, Osvaldo. Modelos experimentais de Resistência à Insulina e Obesidade: Lígões Aprendidas. Arquivos Brasileiros de Endocrinologia e Metabologia, São Paulo, v. 50, n. 2, p.190-197, abr. 2006.
- CRRAFT, Suzanne; CHOLERTON, Brenna; BAKER, L.D. Insulin and Alzheimer's Disease: Untangling the Web. Journal Of Alzheimer's Disease, Seattle, Wa, v. 33, n. 1, p.263-275, 2013. IOS Press. <<http://dx.doi.org/10.3233/JAD-2012-129042>>.
- CESARETTI, Mario Luis Ribeiro; KOHLMANN JUNIOR, Osvaldo. Modelos experimentais de Resistência à Insulina e Obesidade: Lígões Aprendidas. Arquivos Brasileiros de Endocrinologia e Metabologia, São Paulo, v. 50, n. 2, p.190-197, abr. 2006.
- CHEN, Xi; DUYAN, Shi. Mitochondrial AB A potential cause of metabolic dysfunction in Alzheimer's disease. Lubm Life, St. Louis, Missouri, v. 58, n. 12, p.686-694, dez. 2006. Wiley-Blackwell.
- CHARCHAT-FICHMAN, Helenice et al. Declinio da capacidade cognitiva durante o envelhecimento. Revista Brasileira de Psiquiatria, São Paulo, v. 2, p.79-82, 2005
- CHANG, S.-C. et al. Dietary flavonoid intake and risk of incident depression in midlife and older women. American Journal Of Clinical Nutrition, Boston, v. 104, n. 3, p.704-714, 13 jul. 2016. American Society for Nutrition.
- CHANG, S.-C. et al. Dietary flavonoid intake and risk of incident depression in midlife and older women. American Journal Of Clinical Nutrition, Boston, v. 104, n. 3, p.704-714, 13 jul. 2016. American Society for Nutrition.
- CESARETTI, Mario Luis Ribeiro; KOHLMANN JUNIOR, Osvaldo. Modelos experimentais de Resistência à Insulina e Obesidade: Lígões Aprendidas. Arquivos Brasileiros de Endocrinologia e Metabologia, São Paulo, v. 50, n. 2, p.190-197, abr. 2006.

DE OLIVEIRA, Maria do Socorro Padilha, FERREIRA, Daniel Furado & DOS SANTOS, João Bosco. "Seleção de descoradores para caracterização de germenplasma de agaziro para produção de frutos." *Pesquisa Agropecuária Brasileira*. Belém 41.7 (2006): 1133-1140.

DE OLIVEIRA, M. do SP et al. *Agai (Euterpe oleifera Mart.)*. Funep, 2000.

DE FELICE, F.G. Alzheimer's disease and insulin resistance: translating basic science into clinical applications. *The Journal of Clinical Investigation*. Rio de Janeiro, v.123 (2), p.531-539, 2015.

DE FELICE, Fernanda G. et al. How does brain insulin resistance develop in Alzheimer's disease? *Alzheimer's & Dementia*, Rio de Janeiro, v. 10, n. 1, p.26-32, fev. 2014. Elsevier BV. (<http://dx.doi.org/10.1016/j.jalz.2013.12.004>).

DE FELICE, F. G. et al. Protection of synapses against Alzheimer's-linked toxins: insulin signalling prevents the pathogenic binding of Abeta oligomers. *PNAS*. v. 106, n. 6, p. 1971-1976. 10 fev. 2009.

DE BEM, Graziele Freitas de et al. Euterpe oleifera Mart. (agai) seed extract associated with exercise training reduces hepatic steatosis in type 2 diabetic male rats. *The Journal Of Nutritional Biochemistry*, Rio de Janeiro, v. 52, p.70-81, fev. 2018. Elsevier BV. (<http://dx.doi.org/10.1016/j.jnutbio.2017.09.021>).

152, p.363-371, dez. 2015. Elsevier BV.
<<http://dx.doi.org/10.1016/j.physbeh.2015.06.008>>.

- DE OLIVEIRA, P.R.; DA COSTA, C.A.; DE BEM, G.F.; CORDEIRO, V.S.; DE SOUZA, M.A.; DE LEMOS NETO, M.; DA CUNHA SOUSA, P.J.; DE MOURA, R.S.; RESENDE, A.C. Effects of an extract obtained from fruits of Euterpe oleacea Mart. in the components of metabolic syndrome induced in C57BL/6J mice fed a high-fat diet. *J. Cardiovasc. Pharmacol.* 2010; 56: 619-.
- DE OLIVEIRA, P.R.; DA COSTA, C.A.; DE BEM, G.F.; DE CARVALHO, L.C.; SANTOS, I.B.; DE CARVALHO, L.C.; DA CONCEIÇÃO, E.P.; LISBOA, P.C.; OGNIENE, D.T.; SOUSA, P.J.; MARTINS, G.R.; DA SILVA, A.J.; DE MOURA, R.S.; RESENDE, A.C. Euterpe oleacea Mart.-Derived Polyphenols Protect Lipogenesis and Cholesterol Excretion. *Plus One* 2015; 10 (12): e0143721
- D'HOOGHE, Rudy; DEYN, Peter P. de. Applications of the Morris water maze in the study of learning and memory. *Brain Research Reviews*, Antwerp, v. 36, p.60-90, 26 jun. 2001.
- DUTRA, Rafael C. et al. Medicinal plants in Brazil: Pharmacological studies, drug discovery, challenges and perspectives. *Pharmacological Research*, Floripaopolis, v. 112, p.4-29, out. 2016. Elsevier BV.
- ELLENBROEK, B. A.; COOLS, A. R. Models of animals with construction validity for schizophrenia. *Behav Pharmacology*, Nijmegen, Países Baixos, v. 6, n. 1, p.469-490, 1990.
- FARÍAS MARENGÓ, Mariela del Carmen; DELPORT VERGARA, Carla; MIRANDA GUZMÁN, Hugo. Determinación de los mecanismos involucrados en la actividad analgésica de las hojas de Aristotelia chilensis en un modelo de dolor térmico agudo. 2009.

Medica, Porto Alegre, v. 21, n. 2, p. 69-80, 2011.

doenças crônicas não transmissíveis sob uma perspectiva evolutiva. **Sciencia Ivensa Beatrice Mainica** da. Transição epidemiológica, estresse oxidativo e

GOTTLIEB, Maria Gabriele Valle; MORAASSUTI, Alessandra Loureiro; CRUZ,

(SCIELO). <<http://dx.doi.org/10.1590/S0004-27302006000200007>>.

& Metabolologia, Campinas, v. 50, n. 2, p. 208-215, abr. 2006. FapUNIFESP

diagnóstico da resistência insulínica. **Arquivos Brasileiros de Endocrinologia e Metabologia**, São Paulo, v. 50, n. 2, p. 208-215, abr. 2006. FapUNIFESP

GELONEZE, Bruno; TAMBASCA, Marcos Antônio. Available laboratory and

Extensão, v. 8, n. 2, 2017.

DE ALZHEIMER. Anais do Salão International de Ensinio, Pesquisa e

EFEITO NEUROPROTECTOR-ANTIOXIDANTE EM UM MODELO DA DOENÇA

GARCIA, Alexandre et al. SUPLEMENTAÇÃO COM CHÁ VERDE TEM

6083200500030004>.

FapUNIFESP (SCIELO). <<http://dx.doi.org/10.1590/S0101-583200500030004>>.

Psychiatry (São Paulo), São Paulo, v. 32, n. 3, p. 119-130, jun. 2005.

Vicente. Diagnóstico diferencial das demências. **Archives Of Clinical Psychiatry**, São Paulo, v. 32, n. 3, p. 119-130, jun. 2005.

GALLUCCI NETO, José; TAMELINI, Melissa Garcia; FORLENZA, Oreste

<<http://dx.doi.org/10.1016/j.jalz.2013.04.011>>.

Toxicology, São Paulo, v. 58, p. 68-76, ago. 2013. Elsevier BV.

dimethylhydrazine-induced rat colon carcinogenesis. **Food And Chemical Toxicology**, São Paulo, v. 58, p. 68-76, ago. 2013. Elsevier BV.

Fragoso, Mariana F. et al. Agai (Euphorbe oleacea Mart.) feeding attenuates

<<http://dx.doi.org/10.1016/j.jalz.2013.12.010>>.

Janeiro, v. 10, n. 1, p. 76-83, fev. 2014. Elsevier BV.

neuronal dysfunction in Alzheimer's disease. **Alzheimer's & Dementia**, Rio de Janeiro, v. 10, n. 1, p. 76-83, fev. 2014. Elsevier BV.

FERREIRA, Sérgio T. et al. Inflammation, defective insulin signaling, and

- GREIG, N. H. et al. New Therapeutic Strategies and Drug Candidates for Neurodegenerative Diseases: p53 and TNF-alpha Inhibitors, and GLP-1 Receptor Agonists. *Annals Of The New York Academy Of Sciences*, New York City, v. 1035, p.290-315, 2004.
- GUYTON, Arthur C.; HALL, John E.. *Tratado de Fisiología Médica*. 11. ed. Rio de Janeiro: Guanabara Koogan, 2006. 875 p.
- HARADA, N et al. Resveratrol improves cognitive function in mice by increasing production of insulin like growth factor-I in the hippocampus, *J Nutr Biochem*, 2011, v. 22 p.1150-1159
- HASHIMOTO, M. et al. Role of Protein Aggregation in Mitochondrial Dysfunction and Neurodegeneration in Alzheimer's and Parkinson's Diseases. *Neuromolecular Medicine*, San Diego, Ca, v. 4, n. 1-2, p.21-36, 2003.
- HATZIDIS, Aikaterini et al. Removal of a high-fat diet, but not voluntary exercise, reverses obesity and diabetic-like symptoms in male C57BL/6J mice. *Hormones*, Colorado, v. 16, n. 1, p.62-74, 10 fev. 2017.
- HOGAN, Shelly et al. Antiproliferative and antioxidant properties of anthocyanin-rich extract from agave. *Food Chemistry*, Oxford, v. 118, n. 2, p.208-214, jan. 2010. Elsevier BV.
- HOLOSCHER, Christian. First clinical data of the neuroprotective effects of nasal insulin application in patients with Alzheimer's disease. *Alzheimer's & Dementia*, Lancaster, UK, v. 10, n. 1, p.33-37, fev. 2014. Elsevier BV.
- HUANG, T et al. Anti-diabetic action of *Punica granatum* flower extract: Activation of PPAR-γ and identification of an active component. *Toxicology* <<http://dx.doi.org/10.1016/j.tox.2013.12.006>>.

- HUSSAIN, G.M.; CHATTERJEE, S.S.; SINGH, P.N.; KUMAR, V. Beneficial effect of Hypericum perforatum on depression and anxiety in a type 2 diabetic rat model. *Acta Poloniae Pharmacaceutica - Drug Research*, v.68, n. 6, p.913-918, 2011.
- INSTITUTO BRASILEIRO DE GEOGRAFIA E ESTATÍSTICA (IBGE). Federagão. 2017. Disponível em: <https://www.ibge.gov.br/apps/populacao/projecao/>. Acesso em: 23 nov. 2017.
- IBGE (Org.). Projeto da popularão do Brasil e das Unidades da Federação. 2017. Disponível em: <http://dx.doi.org/10.3390/nu9020158>.
- KHALID, Sundus et al. Effects of Acute Blueberry Flavonoids on Mood in Children and Young Adults. *Nutrients*, Reino Unido, v. 9, n. 2, p.158-168, 2017.
- KANDEL, Erick R. et al. *Principles of neural science*. 5. ed. Nova York: McGraw-hill Companies, 2013. 1760 p. ISBN 0-8385-7701-6.
- KOTHLARI, Vishal et al. High fat diet induces brain insulin resistance and cognitive impairment in mice. *Biochimica Et Biophysica Acta (bba) - Molecular Basis Of Disease*, Auburn, v. 1863, n. 2, p.499-508, fev. 2017.
- ELSEVIER BV. <http://dx.doi.org/10.1016/j.bbadi.2016.10.006>.
- LEEE, Wing-hin et al. Curcumin and its Derivatives: Their Application in Neuroparmacology and Neuroscience in the 21st Century. *Current Neuroparmacology*, Sidney, v. 11, n. 4, p.338-378, 1 jun. 2013. Bentham Science Publishers Ltd. <<http://dx.doi.org/10.2174/1570159x1311040002>>.
- LEITE, Alice Vieira et al. Avaliação da composição e da capacidade antioxidante "in vivo" e "in vitro" de antocianinas da casca de jaboticaba (Myrciaria jaboticaba (Vell.) Berg) isolada em ratos Wistar. 2010.

- LOURENCO, M. V. et al.. TNF- α mediates PKR-dependent memory impairment and brain IRS-1 inhibition induced by Alzheimer's β -amyloid oligomers in mice and monkeys. *Cell Metabolism*, Rio de Janeiro, v. 18 p. 831-843, 2013.
- MACIEL, Maria Aparecida M. et al. Plantas Medicinais: a necessidade de estudos multidisciplinares. *Química Nova*, Rio de Janeiro, v. 25, n. 3, p. 429-438, 2002.
- MACHADO, Daniel Escorsim et al. Euterpé oleifera Extract (Agá) Is a Promising Novel Pharmaceutical Therapeutic Treatment for Experimental Endometriosis. *PLoS One*, Rio de Janeiro, v. 11, n. 11, p. 2619-2644, 16 nov. 2016. Public Library of Science (PLoS).
- <<http://dx.doi.org/10.1371/journal.pone.0166059>>.
- MACHAADO, Fernanda de Souza et al. Efeito do tratamento subcronico com MACHADO, R. et al. A HIGH-FAT, REFINED SUGAR DIET REDUCES PLASTICITY, AND LEARNING. *Neuroscience*, Los Angeles, v. 112, n. 4, p.803-814, 2002.
- MANNSUR, Letícia Lessa et al. Línguagem e cognição na doença de Alzheimer. *Psicologia: Reflexão e Crítica*, São Paulo, v. 18, n. 3, p.300-307, 2005.
- MOLTENI, R. et al. A HIGH-FAT, REFINED SUGAR DIET REDUCES HIPPOCAMPAL BRAIN-DRIVEN NEUROTROPHIC FACTOR, NEURONAL PLASTICITY, AND LEARNING. *Neuroscience*, Los Angeles, v. 112, n. 4, p.803-814, 2002.
- MORRIS, R. G. M. et al. Place navigation impaired in rats with hippocampal lesions. *Nature*, Reino Unido, v. 297, n. 5868, p.681-683, jun. 1982. Springer Nature. <<http://dx.doi.org/10.1038/297681a0>>.

23 nov. 2017.

em: <http://www.who.int/mental_health/neurology/dementia/en>. Acesso em:
and Impact of Dementia: Current State and Future Trends. 2015. Disponível

ORGANIZAÇÃO MUNDIAL DE SAÚDE (Nova York). OMS. *The Epidemiology*

Rio de Janeiro. *Anais...* Rio de Janeiro: Ibro, 2015. p. 146 - 146.
RATS. In: INTERNATIONAL BRAIN RESEARCH ORGANIZATION, 9., 2015,
MEMORY/LEARNING, BUT NOT ANXIETY AND DEPRESSION IN ADULT
OKINGA, Anicet et al. THE SINGLE MATERNAL SEPARATION EFFECTS

2.00018-9>.
18, p.219-239, 2014. Elsevier. <<http://dx.doi.org/10.1016/b978-0-12-398456-1>>.
(Euterpe spp.). *Polyphenols in Human Health And Disease*, Puyalup, WA, n.
Anti-Inflammatory Flavonoids in the Nutrient-Rich Amazonian Palm Fruit, Agai
ODENDALL, Antoinette Y.; SCHAUSS, Alexander G.. Potent Antioxidant and

nuvlab>. Acesso em: 22 out. 2017.
Nuvilab CR-1®. Disponível em: <<https://www.globalbiotekios.com.br/quimica-composito-quimica-da-rgao-comercial-para-animais-de-laboratorio-nuvilab-cr-1>>.

Elsevier BV. <<http://dx.doi.org/10.1016/j.fct.2010.12.007>>.
Chemical Toxicology, Rio de Janeiro, v. 49, n. 4, p.855-863, abr. 2011.
cigarettes has a protective effect against emphysema in mice. *Food And*
MOURA, Roberto Soares de et al. Addition of agai (Euterpe oleracea) to

(*Punicia granatum*). 2016. Tese de Doutorado. Universidade de São Paulo.
MORZELLE, Maressa Caldeira. *Efeito neuroprotector da casca de romã*

de São Paulo.
prevêngão da doença de Alzheimer. 2012. Tese de Doutorado. Universidade
MORZELLE, Maressa Caldeira. *Resíduos de romã (*Punicia granatum*) na*

- ORGANIZAÇÃO MUNDIAL DA SAÚDE (Nova York). OMS. **Deméncias: Nota descritiva.** 2017. Disponível em: <http://www.who.int/mediacentre/factsheets/fs362/es/>. Acesso em: 17 dez. 2017.
- PARK, Hee Ra et al. A high-fat diet impairs neurogenesis: Involvement of lipid peroxidation and brain-derived neurotrophic factor. *Neuroscience Letters*, Republic Of Korea, v. 482, n. 3, p.235-239, out. 2010. Elsevier BV. <http://dx.doi.org/10.1016/j.neulet.2010.07.046>.
- PELLOW, Sharon et al. Validation of open: closed arm entries in an elevated plus-maze as a measure of anxiety in the rat. *Journal Of Neuroscience Methods*, London, v. 14, n. 3, p.149-167, ago. 1985. Elsevier BV. [http://dx.doi.org/10.1016/0165-0270\(85\)90031-7](http://dx.doi.org/10.1016/0165-0270(85)90031-7).
- PHILLIPS, Cristy. LifeStyle Modulators of Neuroplasticity: How Physical Activity, Mental Engagement, and Diet Promote Cognitive Health during Aging. *Hindawi: Neural Plasticity*, Arizona, v. 3589271, n. 2017, p.1-22, 12 jun. 2017. <https://doi.org/10.1155/2017/3589271>.
- PINI, Renata Tavares Beschizza et al. Effects of cafeteria diet and high fat diet intake on anxiety, learning and memory in adult male rats. *Nutritional Neuroscience*, Ribeirão Preto, v. 20, n. 7, p.396-408, mar. 2016. Informa UK Limited. <http://dx.doi.org/10.1080/1028415X.2016.1149294>.
- PORSOLT, Roger D.; LE PICHON, M.; JALFRE, M. Depression: um novo modelo animal sensível aos tratamentos antidepressivos. *Nature*, v. 266, n. 5604, p. 730-732, 1977.
- PORTELA, Luis Valmor et al. Intracerebroventricular Metformin Decreases Body Weight But Has Pro-oxidant Effects and Decreases Survival.

- ROCHA, A.P.M.; CARVALHO, L.C.R.M.; SOUZA, M.A.V.; MADEIRA, S.V.F.; SOUSA, P.J.C.; TANQ, T.; CRIDDLE, D.N.; PORTO, L.C.; VALENCA, S.S.; DE MOURA, R. Endothelium-dependent vasodilator effect of Euterpe oleifera Mart. (agai) extracts in mesenteric vascular bed of the rat. *Vasc. Pharmacol.* 2007; 46: 97-104.
- ROCHA, A.P.M.; RESENDE, A.C.; SOUZA, M.A.V.; CARVALHO, L.C.R.M.; SOUSA, P.J.C.; TANQ, T.; SHINI-KERTH, V.B.; RESENDE, A.C.; SOARES DE MOURA, R. Extract obtained from fruits of Euterpe oleifera Mart (Agai) alcohol extract improves insulin resistance and prevents hepatic lipid accumulation and extract improves insulin resistance and prevents hepatic lipid accumulation and steatosis in high-fat diet-fed mice. *Nutrition Research*, Rio de Janeiro, v. 43, p.69-81, jul. 2017. Elsevier BV. <http://dx.doi.org/10.1016/j.nutres.2017.05.007>.
- SCHINDOWSKI, K.; BELARBI, K.; BUÉE, L.. Neurotrophic factors in Alzheimer's disease: role of axonal transport. *Genes, Brain And Behavior*, Lille, France, v. 7, p.43-56, 3 jan. 2008. Wiley-Blackwell.
- <http://dx.doi.org/10.1111/j.1601-183X.2007.00378.x>.
- SHEPHERD, Gordon M.. *Neurobiology*. 3. ed. New York: Oxford University Press, 1994. 760 p. ISBN 0195051718, 9780195051711.
- SILVA, Marilia Lordelo Cardoso et al. Compostos fenólicos, carotenoides e atividade antioxidante em produtos vegetais. *Revista de Ciências Agrárias*, Londrina, v. 3, n. 31, p.669-682, set. 2010.

SUDO, R.T.; LEMOS NETO, M.; TAKASHI, R.; SOARES DE MOURA, R.;
RESENDE, A.C. Antinociceptive effects of hydroalcoholic extract (ASE) from
Euterpe oleacea Mart. (Agai) rodent models of acute and neuropathic pain.
BMC Complement Altern Med. 2015; 2(15): 208.

229, 2015.
SUBASH, S. et al. Long term (15mo) dietary supplementation with
pomegranates from Omega attenuates cognitive and behavioral deficits in a
transgenic mice model of Alzheimer's disease. *Nutrition*, Paris, v.31, p. 223-
p.47-54, out. 2004. Elsevier BV.

<<http://dx.doi.org/10.1016/j.physbeh.2004.07.022>>.
STOCKHORST, Ursula et al. Insulin and the CNS: effects on food intake,
memory, and endocrine parameters and the role of intranasal insulin
administration in humans. *Physiology & Behavior*, Dusseldorf, v. 83, n. 1,
de Janeiro: McGraw-hill Companies, 2005. Cap. 22, p. 420.

STANDERT, David G.; YOUNG, Anne B.. Tratamento dos Distúrbios
Degenerativos do SNC: Tratamento da Doença de Alzheimer. In: GLIMAN,
Alfred Goodman et al. *As Bases Farmacológicas da Terapêutica*. 10. ed. Rio
de Janeiro: McGraw-hill Companies, 2005. Cap. 22, p. 420.

STAHL, Stephen M.. *Psicofarmacologia: Bases neurocientíficas e aplicações*
práticas. 4. ed. Rio de Janeiro: Guanabara Koogan, 2014. 843 p. Traduzido de
Stahl's *Essential Psychopharmacology* Fourth Edition Syndicate of the Press of
the University of Cambridge, England.

SOUZA, Carolina Melo de. Efeito neuroprotetor da curcumina sobre o
estresse oxidativo, inflamação, memória e dano neuronal de ratos
submetidos à isquemia cerebral transitoria. 2012. Tese de Doutorado.

SINGLETON, V. L.; ROSSI, J. A. Colorimetry of total phenolics with
phosphomolybdc-phosphotungstic acid reagents. *Am. J. Enol. Vitic.*, v. 20, n.
2, p. 144-158, 1965.